

<Review>

## TLD의 特性과 最近動向

陸 鍾 濬\*

漢陽大學校 工科大學 原子力工學科

### Characteristics of TLD and Their Recent Trend

Chong Chul Yook\*

Dept. of Nuclear Eng. College of Eng., Hanyang University, Seoul, Korea

#### 1. 序 論

1977年 6月 19日은 우리나라最初로 建立된 原子力發電所의 原子爐 臨界日이 되고 1977年 6月 30日 10%의 核電力を 生產했으며 1978年 4月에 商用電力を 供給하여 오늘날에 이르렀다. 特히 80%效率로 現在까지 大事故 없이 運轉되고 있음은 우리 모두가 慶祝할 일이고 核電力を 供給하고 있는 韓國電力會社 原子力擔當任職員 및 技術者 여러분에 對하여 深甚한感謝를 드리는 바이다. 다만 核發電에서 가장 重要視되는 것은 放射線被曝線量에 對한 安全管理問題와 環境管理問題라고 본다. 왜냐하면 從事者の 人命과 住民의 人命이 가장 尊重視되고 貴하기 때문이다. 따라서 放射線에 對한 個人防護用 monitor의 重要性이 強調된다. 뿐만 아니라 最近發足한 核燃料加工工場을 為始하여 放射線同位元素(R.I.)와 X-線 裝置를 利用한 各種關聯產業 從事者(非破壞検査從事者包含)와 原子力研究所의 放射線取扱 및 作業從事者는 勿論 各病院의 X-線 取扱者와 醫料用 RI 取扱者等 모든 放射線取扱 및 從事者는 自己自身을 為하고 直系家族을 為하여서도 放射線被曝管理問題는 大端히 重且大하다. 나아가서 國民全體의 有意遺傳線量 管理問題와도 直結된다고 함을 此際에 더

ux 強調한다. 따라서 放射線從事者에 對한 障害防禦를 為해서 其適正한 個人 monitor인 被曝線量測定器의 重要性이 여기서 明確히 認識될 줄로 믿는다.

在來使用해 오던 film badge 및 pocket chamber(電離函檢出器)와 같은 個人 monitor用 線量計(dosimeter)로는 低線量被曝 檢出器로서는 不適當한 事實이 國際的으로 이미 잘 알려져 있는 實情이며 이를 補完 開發된것이 TLD(Thermoluminescent Dosimeter) personnel dosimeter고 現在 우리나라 原子力發電所의 放射線 從事者들은 모두 이 TLD를 film badge代身에 善用하여 個人被曝線量을 檢出管理하고 있음은 大端히 多幸한 處事라고 하겠다.

核發電所 뿐만 아니라 放射線診斷, 放射線治療 및 放射線加工等에 從事하는 放射線被曝者들은 今後 必히 TLD를 着用하여 自己自身을 放射線被曝으로부터 防護해야 함은 再言이 不必要하다고 하겠다.

最近  $\gamma$ -X線에 對한 個人被曝線量計로서는  $\text{CaSO}_4(\text{Dy})$ ,  $\text{LiF}(\text{Mg})$ ,  $\text{LiF}-\text{Mg}(\text{Na})$ ,  $\text{Al}_2\text{O}_3$  및  $\text{CaF}_2(\text{Dy})$ , 및  $\text{CaF}_2(\text{Mn})$  等이 film badge와 代置되어 널리 使用되며 TL-dosimeter는 computer로 判讀하게 되어 多量의 badge를 短時間에 處理하고 있는 實情인것이 美國, 英國, 佛蘭西, 日本等 先進國들이 있다. 한例로 badge type  $\text{LiF}-\text{Mg}(\text{Na})$ 에  $20\text{mg}/\text{cm}^2$ 의 polyethylene被覆으로 skin dose를 測定하고  $320\text{mg}/\text{cm}^2$ 의 plastic 피복으로 body dose를 測定하며 Cu-1mm, Pb-1mm의 피복으로 X-ray dose,  $^{6}\text{LiF}$ 로 热中性子線量을 測定하며 computer 處理때 其速度는 10 dosimeter/min. 最少線量의 測定 精密度는  $10\text{mrad} \pm 3\text{mrad}$ , 最大線量의 測定은 1,000rad다. Computer cartridge서 card의 處理速度는 60card/hr로 判讀하여 이때 其 background

\* 大韓放射線 防禦學會 會長(工博)  
(President of the Korean Asst. for Radiation Protection)  
國際 放射線防禦學會(IRPA) 極東地域代表  
(J.C. Representative of the Far East Asia, IRPA)  
美國保健物理學會 顧問  
(Member of the Advisory Board, Heath Physics Society, U.S.A.)

線量은  $500\mu\text{R}$ 이니 現存 dosimeter로서는 가장最低 background線量인 것이고 film badge나 pocket chamber로서는 絶對不可能한 數值인 것을 알 수 있다.

放射線區域別로 實用測定範圍는 다음과 같이 大別 할 수 있다. 即,

- (1) 環境放射線 Level :  $10^{-6} \sim 10^{-3}$  rad, rad/hr.
- (2) 放射線防護 Level :  $10^{-3} \sim 10^{-1}$  rad, rad/hr.
- (3) 放射線診斷 Level :  $10^{-1} \sim 10^2$  rad, rad/hr.
- (4) 放射線治療 Level :  $10^2 \sim 10^4$  rad, rad/hr.
- (5) 放射線加工 Level :  $10^4 \sim 10^8$  rad, rad/hr.

위와 같은 高低線量의 全領域을 TL-dosimeter로 堪當 할 수 있으니 理想的인 線量計라고 할 수 있으나 現實的으로 單一 TLD로서는 期待할 수 없고 亦是 低, 中, 高 線量測定別로 TLD의 種類選擇이 要望된다.

Phosphor glass-dosimeter도 約 10mR程度의 低線量測定에 使用되며 其成分은 다음과 같다.

$\text{LiPO}_3$  : 50

$\text{Al}(\text{PQ}_3)_3$  : 50

$\text{AgPO}_3$  : 7

$\text{B}_2\text{O}_3$  : 3

i) dosimeter는 一名 磷酸鹽glass(Ag)라고도 하며  $1\text{mm}\phi \times 6\text{mm}$  크기의 小型으로 體內照射線量도 測定할 수 있다.

또한  $\mu\text{R}$ 程度 低線量測定에 TSEE(Thermally Stimulated Exoelectron Emission)dosimeter도 開發途上에 있으며 單純한 badge用이 아니며 G-M Counter의 Tube內에 TSEE를 放出하는 材料인  $\text{LiF}$ ,  $\text{BeO}$ ,  $\text{CaSO}_4$ ,  $\text{CaF}_2$ ,  $\text{BaSO}_4$ ,  $\text{Li}_2\text{B}_4\text{O}_7$  및  $\text{SrSO}_4$ 等을 插入해야 하고 同時に 加熱, 冷却, 溫度制御裝置가 必要함이多少 不便하다고 하였으며 personnel monitor로서는 不適當하다.

i) 線量計는 發光機構에 있어서 TLD와 類似하여 EED(Exoelectron Emission Dosimeter)라고 稱하며 TLD와 EED의 原理를 다음과 같이 簡易하게 說明하기로 한다.

### 2-(1) TLD와 EED의 原理

그림 1은 絶緣物의 electron energy band model이며 放射線 固體檢出器(solidstate detector)의一般的的 energy band-model이기도 하다. TLD나 EED素材物質에 不純物(Impurity)인 活性劑 即  $\text{CaF}_2$ 內의 Dy,  $\text{CaF}_2$ 內의 Mn,  $\text{CaSO}_4$ 內의 Dy等等 微少量을 添加(真空蒸着, 擴散法)導入하고 이 物質을 热處理하면 物質內에 生成되는 格子欠陷(Lattice Defect)으로 因하여 充

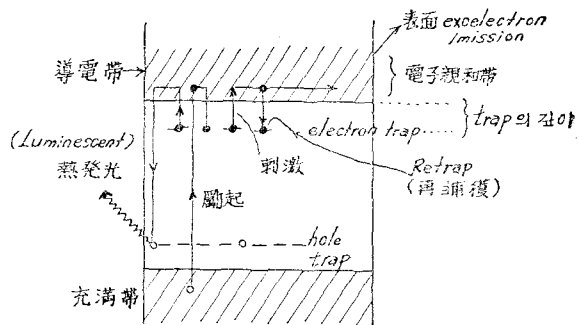


그림 1. 热發光과 exoelectron放出機構

滿帶(Filled band)에서 電子가 驅起되어 導電帶로 移動하여 電子親和帶內서 自由로 運動한다. 其 energy를 放出하면서 어떤 level에서 electron trap(電子捕獲)이 되고 이때 ○表는 hole, ●表는 electron으로 圖示하였으며 hole trap과 热發光 또는 Luminescence를 形成한다. electron-hole pair는 放射線照射로 因해서 生기며 어떤 電子는 Retrap(再捕獲)되기도 하고 electron과 hole이 再結合(Recombination)이 되기도 하며 固體의 電子 親和力 보다 더 큰 energy를 가진 어떤 電子는 이 固體에서 離脫하게 된다.

電子 trap 中心에 trap된 電子는 照射後에도 變位는 안되어 이 trap 電子數가 放射線照射線量에 比例한다. 다만 照射線의 energy, 線質 및 固體素子의 放射線吸收特性等에 依해서도 trap電子數는 變化한다.

TLD 開發은 最初 Randall과 Wilkins가 1940年 “phosphorescent and electron traps”란 論文을 發表함으로써 luminescence(螢光)의 發光原理 및 其熱發光 機構가 明確하게 되었다.

### 2-(2) Thermoluminescence glow:

螢光을 放出할 수 있는 溫度와 其最大光强度는 螢光物質의 종류에 따라 다르나 이 螢光發光을 glow라고 하며 其强度는 加熱溫度에 따라서 다르고 이 溫度와 強度의 相關曲線을 glow-curve라고 하여 매우 重要한 特性을 가진다.

Glow는 電子 trap level에서 電子가 다시 驅起(加熱로)되어 導電帶(conduction band)로 上昇 되었다가 充滿帶(그림 1) 또는 基底狀態(ground state)로 내려오면서 電子가 가진 energy를 放出하고 hole trap level에서 trap될 때 glow가 생긴다. Glow curve의 모양으로 trap의 깊이 即 energy 準位分布를 짐작 할 수 있다. Glow curve의 한 例로 Zn-Cu phosphor에 대하여 其特性을 表示하면 다음과 같은 그림 2가 된다.

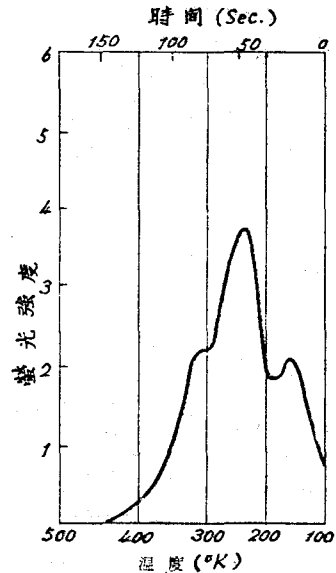


그림 2. ZnS-Cu에 대한 glow curve

이 그림에서 보는 바와 같이  $240^{\circ}\text{K}$ , 50秒 때 螢光强度가 最大임을 알 수 있다. 一般的으로 glow curve의 形成理論과 trapped electrons의 特性를 살펴보면 다음과 같다.

### 2-(3) Glow Curve의 理論

Trapped electron의 energy level을  $E$  eV라 하면導電帶 energy보다 낮으며 trap level에서 電子가 脫出할려면 最少限  $E$  eV를 吸收해야 한다는 것이고 energy  $E$ 를 trap depth(捕獲深部)라稱한다.

Trap된 電子들의 分布는 热 energy에 依해서 Maxwell分布를 形成하여 溫度  $T$ 에서 trap depth  $E$  부터 脱出 할 수 있는 確率를  $P$ 라고 하면

$$P=S \exp(-E/kT) \quad \dots \dots \dots (1)$$

여기서는  $k$ 는 Boltzmann constant,  $S$ 는 溫度와 같아徐徐히 變化하는 常數이나 trap level을 하나의 potential box(電位상자)라고假定한다면 電子가 이 상자의側面과 부딪쳐서 反射되는 反射係數(Mott와 Gurney에 依한 값<sup>2)</sup>)과 振動周波數와 흡한 값이나 結晶體의 振動周波數인  $1 \sim 2 \times 10^{12} \text{ sec.}^{-1}$ 보다 낮은 값이며 phosphor에서는  $S \approx 10^8 \text{ sec.}^{-1}$  정도라고 한다.

實驗으로 얻은 glow curve는 traps과 depth 即 어령한 depth에 electron trap가 一定한 溫度에 어떻게 分布되는가 하는 것을 알아내기 為한 方法이라고 하겠다.

이는  $E$ 가 一定하다하고 溫度  $T$ 는 一定率로 上昇 시킬 때 glow curve의 모양을 算出함은 다음과 같다 (1)

式을 展開한다. 即  $N =$ 時間  $t$  때 trap內의 電子數라면 (1)式은 다음과 같이 쓸 수 있다.

$$\frac{dn}{dt} = \ominus nS \cdot \exp(-E/kT) \quad \dots \dots \dots (2)$$

(2)式은 再捕獲(retrapping)이 없다는 假定下에 成立한다. 大體로 trap에서 脱出된 電子는 luminescence center(熱發光中心)로 恒常 떨어지게 되지 다른 trap으로는 떨어지지 않는다. 따라서 發光强度  $I$ 는 luminescence center에 電子가 얼마나 많은率로 떨어지느냐에 따라서 달라진다. 이 原理를 數式化 하면 다음과 같다.

$$I = Cdn/dt = \ominus C \cdot n \cdot S \cdot \exp(-E/kT) \quad \dots \dots \dots (3)$$

(2)式을 變更하면  $dn/n = \ominus S \cdot \exp(-E/kT) dt$  여기서  $dT = \beta \cdot dt$ 라 하면  $\beta$ 는 溫度의 加溫率이 되고 이를 積分하면 다음과 같다.

$$\log n/n_0 = \ominus \int_0^T 1/\beta \cdot S \exp(-E/kT) dT$$

$$n = n_0 \exp[-\int_0^T 1/\beta \cdot S \cdot \exp(-E/kT) dT]$$

따라서

$$I = C \cdot dn/dt = n_0 C \exp[-\int_0^T 1/\beta \cdot S \cdot \exp(-E/kT) dT] \cdot S \cdot \exp(-E/kT) \quad \dots \dots \dots (4)$$

(4)式은 phosphor에 대한 glow curve强度를 表現하며 한個의 depth에 電子 trap을 가지고 있는 경우가 된다. curve 表現式 (4式)에서  $S=2.9 \times 10^8 \text{ sec.}^{-1}$ ,  $E=0.67 \text{ eV}$ ,  $\beta=2.5^{\circ}/\text{sec}$ ,  $0.5^{\circ}/\text{sec}$ .  $T=356^{\circ}\text{K}$ 일 때 다음과 같은 2個의 curve가 생기며 이는 加溫率인  $\beta$ 에 두 가지 값을 適用 했기 때문이다(그림 3).

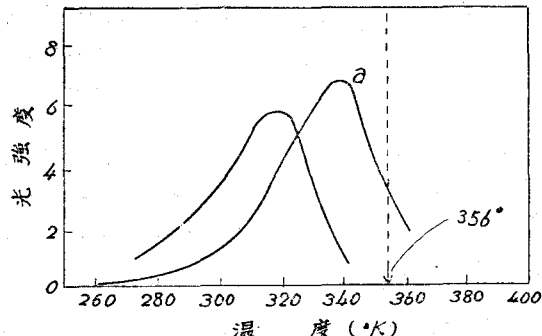


그림 3.单一trap depth와 (a), (b) 두 가지 加溫率일 때의 理論的 glow curve

그림 3에서 curve(a)는  $2.5^{\circ}/\text{sec}$ . (b)는  $0.5^{\circ}/\text{sec}$ .의 加溫率일 때이고 trapped electron의 減衰時間은 1秒다. (a), (b) 두曲線의 指數的上昇이 低溫에서 생기며 이는 (3)式의 指數項에 起因하고 光放出이 當分

間 持續하다가 (3)式의  $n$ 인 trapped electron數는 最大로 되었다가 次次 減少하게 되고 trap된 電子의 放出이 끝나면 零(强度)이 된다.

Glow curve의 最高點은 電子가 trap로 부터 脫出하는 確率이 1個/sec. 때 생기며 그림 3에서 356°K때 其 確率이 1個/sec.니까

$$S \cdot \exp[-E/kT_g\{1+f(S, \beta)\}] = 1.$$

여기서  $T_g$  = 最大 glow가 생기는 溫度고  $f(S, \beta)$ 는 1보다 적은 값이다. 또한 위式을 다음과 같이 變更시킨다.

$$E = T_g\{1+f(S, \beta)\} k \log S \dots\dots\dots\dots\dots (5)$$

(5)式에서 trap depth( $E$ )는 溫度( $T_g$ )와 直接 比較할 수 있고 計算結果(그림 3) 340°K 때  $E=0.67$  eV인 것이다. 따라서 50°K는 0.1eV에 該當하고 trap depth는 約  $25kT$ 가 되며 加熱度에 따라서 curve는 多少 다르나 加熱度가 減少하면 (b) curve와 같이 低溫側으로 多少 移動한다.

實際로는  $E$ 인 trap depth의 値은 單一值가 아니고 여러個의 值을 가질 수 있으며 그림 2의 경우로 써 이를 立證하고 單一曲線이 아니고 3個의  $E$ 값으로 因한 3個 curve의 重疊 같이 되어 있다.

(4)式의 trap depth  $E$ 는 (5)式으로 表現 했으니 이는 glow를 發生시키는 溫度와 關係되며 phosphorescence가 一一定한 溫度에서 생긴다면 電子가 trap內서 머무르는 平均時間  $t$ 는 電子의 脫出確率  $P$ 의 逆比가 되어 (1)式은 다음과 같이 된다.

$$t = \frac{1}{P} = S^{-1} \exp(E/kT)$$

$$\text{故로 } \log t = \frac{E}{kT} \oplus \log S$$

위式에 (5)式의  $E$  値을 代入하면

$$\log t = \log S \cdot \frac{T_g\{1+f(S, \beta)\}-T}{T} \dots\dots\dots\dots\dots (6)$$

(6)式의  $T_g$ 는 glow temperature(發光溫度)고  $t$ 를 phosphorescence의 減衰時間(decay time)이라 하면 이  $t$ 와 發光溫度( $T_g$ )사이에 比例關係가 成立함을 알 수 있고 이때  $T$ 는 一定한 溫度라고 한다.

Phosphor로 써는  $Zn_2SiO_4$ (0.5%Mn),  $ZnBeSiO_4$ (2%Mn),  $ZnS$ (1%Mn) 等等의 있으나 活性劑(activator) Mn의 添加量(%)에 따라서 其 glow curve의 最大值가 다르고 이때의 加熱溫度도 다르다. 上記 3種에서는  $Zn_2SiO_4$ (0.5%Mn)의  $Zn_2SiO_4$ (1%Mn) 때보다 glow peak가 더 높고 glow peak가 생기는 溫度는 각각 240°K, 270°K로 된다.

그림 3에서도 glow curve a, b는 각각 340°K, 320°K 때 最高光度를 가지며 이는 trap depth  $E$ 가 單一值 일 때의 理論的曲線이나 實際로는 trap depth level이

여러個 있는 材料가 많다.

Bünger와 Flechsig, Seitz와 Hilsch等도 일찌기 1940年代에 KCl(Tl)에 對한 phosphorescence를 研究하였으며 單一  $E$ -값과  $S$ -값을 求했고 室溫近方에서 (22°C ~ 35°C) glow curve의 減衰는 指數法則으로 椿을 雖然했으며 其 表現式은

$$I = I_0 \exp[-S \cdot \exp(-E/kT)]$$

로 되고  $I$ 는 phosphorescence의 強度,  $E$ 는 活性 energy(activation energy)로 0.67eV가 되어 Randall-Wilkins에 依한 그림 3에서 얻은  $E=0.67$ eV과 같고 또한 常數인  $S=2.9 \times 10^9 \text{ sec}^{-1}$ 로 同一한 值을 얻었다. KCl(Tl)結晶體片에 對한 decay curve(減衰曲線)을 溫度變化에 따라 半對數座表로 表示하면 다음의 그림 4와 같으며 發起源은 mercury arc였다.

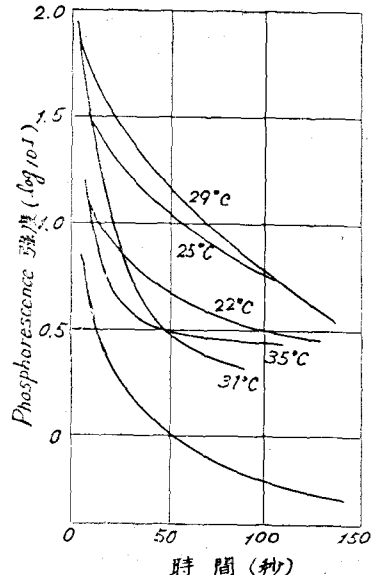


그림 4. KCl-Tl의 phosphorescence 減衰曲線

(4)式의 加熱率  $\beta$ 를  $1.3^{\circ}\text{C/sec.}$ 로 하면 (6)式에서 다음과 같이 된다.

$$\log_{10} t = 9.5 \cdot (T_g \times 1.08 - T) / T$$

但 위式은 어떤 溫度  $T$  때의 phosphorescence 減衰時間이  $t$ 가 되며  $S=10^{9.5} \text{ sec}^{-1}$ 의 値을 代入한 結果式이다.

(6)式의  $\log S$ 에서  $S$ 의 値은 다음과 같이 求한다. 即 glow curve의  $T_g$ 와  $\log t$ 와는 (6)式에서 直線이 되어  $T$ 가 一定溫 일 때  $T_g=0$ 인 때의  $\log t$ 軸에 만나는 點의 値이  $S$ 의 値이 된다. 또한 어떤 溫度  $T_1$ 點은 (6)式의  $T_g$ 와 같이 되며  $\log t=0$ 가 되어  $f(S, \beta) = \frac{T_g - T_1}{T_1}$ 이 되어  $f(S, \beta)$ 는 減衰變化의 値으로 表示된다.

## 2-(4) Trap分布에 따른 Phosphorescence 強度變化

## (i) 單一trap depth 때 :

2-(3)의 (3)式에서 trap depth  $E$  때의 電子數를  $n$ , 어떤 温度  $T$  때  $E$ 에 依한 phosphorescence强度  $I$ 는  $I = dn/dt = \int n \cdot s \cdot \exp(-E/kT) dt$  가 이를 積分하면

$$I = -n_0 S \cdot \exp(-E/kT) \exp \left[ -S \cdot t \cdot \exp(-E/kT) \right] \quad (7)$$

과 같고 또는  $I_t = I_0 \exp[-S \cdot t \exp(-E/kT)]$ 로 表現할 수 있다. 이 (7)式은 單一 trap level로 因한 phosphorescence의 強度를 表示하는 式이며 KCl( $T$ ) 때 表示한 式과 같다.

## (ii) Trap level의 均一分布 때

大體로 phosphor 材料들은 多個의 trap depth를 가지고 있는 것이 普通이다.

depth  $E$ 와  $E+dE$  사이에 trap의 數를  $N_E$ 라고 하면  $t$ 時間 때 其强度  $I_t$ 는 (1)式으로 부터 다음과 같이 表現한다.

$$I_t = \int_0^\infty N_E \cdot S \cdot \exp(-E/kT) \exp[-S \cdot t \cdot \exp(-E/kT)] dE$$

이 式을 積分하면  $I_t = n \cdot kT/t [1 - \exp(-S \cdot t)]$  가 되고  $S \cdot t \gg t$  일 때 即 microsecond(μsec.) 後에  $e^{-S \cdot t} \approx 0$ 가 되고

$$I_t = nkT/t \quad (8)$$

과 같이 簡單한 式이 된다.

(2)式에서 보는 바와 같이 其强度는 어떤 depth의 trap로부터 電子의 放出로 因하여 생기며 그들 trap로부터 電子의 放出率에 比例함도 알 수 있다. 또한 이率은 電子가 trap level에서 머무는데 所要된 平均時間과 逆比한다. 따라서 trap level이 깊을 때 電子放出은 늦어진다.

均一trap distribution 때  $I \cdot t = \text{constant}$ 가 되어 强度  $I$ 는  $1/t$ 에 比例하고  $I \cdot t \propto N_t$ 의 形式으로 結論 지울 수 있으며 이 때  $N_t$ 는 電子가 trap內서 消費하는 平均時間  $t$  때의 trap의 數다.

이  $N_t$ 와  $E$  사이의 關係를 그려보면 이 trap distribution 曲線도 glow curve와 近似한 形態가 된다.

## (iii) 指數型 trap distribution :

ZnS-phosphor들의 trap distribution는 指數型이고 이를 數式으로 表現하면

$$N_E = A \exp(-\alpha E) dE$$

가 되고 이를 利用하면 (ii)의  $I_t$ 는 다음과 같이 展開된다.

$$I_t = \int_0^\infty A \cdot S \cdot \exp[-S \cdot t \cdot \exp(-E/kT)] \exp[-\alpha E] dE$$

$$[-E/kT - \alpha E] dE$$

이 式에서  $\xi = S \cdot t \exp(-E/kT)$ 라고 놓으면 上式은

$$I_t = (S \cdot t)^{-\alpha kT} \frac{A \cdot S \cdot kT}{t} \int_0^{\xi} \exp(-\xi) \xi^{\alpha kT} d\xi$$

가 된다. 여기의 ( $S \cdot t$ )는  $10^9$ 보다 크고 따라서

$$I_t \approx (S \cdot t)^{-\alpha kT} \frac{A \cdot S \cdot kT}{t} \int_0^\infty \exp(-\xi) \xi^{\alpha kT} d\xi,$$

$$I_t \approx f(S \cdot kT) B t^{-(\alpha kT + 1)} \quad (9)$$

式 (8), (9)에서 phosphorescence의 減衰法則은 trap depth distribution가 温度에 크게 依存하지 않고 있음을 알 수 있다. 그러나 여러個의 depth( $E$ )의 trap으로 因한 發光은 温度와 相關關係에 있다.

(9)式에서  $\alpha=0$ 인 경우가 均一trap distribution를 나타내며 (8)과 같이 (9)式의  $I_t$ 도  $t$ 에 대한 逆比關係가 있다.  $\alpha kT = 1$ 이면 (9)式은 逆自乘法則에 該當하고 勵起된 電子는 化學反應의 双分子 때와 같이 luminescence center이 空乏(empty)된 때 電子再結合이 생기고 이 경우에 위法則이 잘 適用된다. 再結合이 생기는 時間은  $10^{-5}$ 秒 以內고 decay time이 이보다 큰 값을 가지는 것은 電子가 trap된 時間이 있기 때문이다.

(9)式은一般的으로  $I \propto t^{-x}$ 로 表現하면  $x$ 의 値은 phosphorescence curve에서 얻어지고  $S = 10^8 \text{ sec}^{-1}$ 로 주어질 때 各種 phosphor에 對한  $x$ 의 實測值와 計算值는 다음表 1과 같다.

표 1. ZnS-phosphors의 減衰法則

Phosphor	$I \propto t^{-x}$ (實測值)	glow curve 에 依한 計算值
ZnS-Cu(1)	1.50	1.57
ZnS-Cu(2)	1.38	1.31
ZnS-Cu(3)	1.50	1.51
ZnS-Cu-Ag	1.32	1.30
ZnS-CdS-Cu	1.65	1.57
ZnS-Cu(4)	2.0	2.0

## 2-(5) 再捕獲(Retrapping)理論

그림 1에서와 같이 하나의 trap에서 하나의 電子를 脫出시켜 空乏冷光中心(empty luminescence center) 또는 hole trap에 捕獲되면 發光하니까 再捕獲은 生기지 않는다. 1次로 trap된 電子가 다시 刺戟을 받아導電帶(conduction band)內에 移動하다가 다시 電子 trap level까지 내려와서 捕獲되며 再捕獲이 되고 이는 empty traps의 相對的인 數와 empty luminescence center(hole trap) 數에 關係된다.

## (i) Fluorescence 成長과 時間

한 phosphor에서 모든 luminescence center가 充滿되어 있고 trap가 모두 비어 있다 하고 또한 luminescence center數가 trap數 보다 많다고 하자.

이때 이 phosphor가 一定한 放射線 또는 热로 勵起될 때 最初에는 empty luminescence centers가 없고 모든 電子는 (勵起電子) traps에 依해 捕獲된다. 이들 traps가 充滿되고나면 luminescence center들은 비어 있기 때문에 電子를 받아들일 수 있게 된다. 이때 fluorescence가 發生하게 되고 이 fluorescence(螢光)強度는 時間에 따라 增加하다가 끝 平衡狀態로 되는데 이는 모든 trap들이 充滿된 때가 된다.

螢光의 成長과 時間사이의 關係를 理論化하면 다음과 같다.

$n$ =單位부피當 trap의 數

$a$ =勵起시키는 光의 強度(勵起源)

$N$ =單位부피當 導電帶內의 電子數

$n_1$ =單位부피當 empty luminescence center의 數  
라고 하면 電子들은  $a$ 에 比例하는 率로 導電帶로 들어가고 여기서 이들은 empty trap과 empty luminescence center에 捕獲되니까 이를 數式화하면 다음과 같다.

$$\frac{dN}{dt} = a - A_2 = (n - n_1 + N)N - A_1 n_1 N$$

여기서  $A_1, A_2$ 는 empty trap와 empty luminescence center에 依한 電子捕獲確率인 常數가 된다. 萬若에 自由電子들의 trap와 luminescence center에서 再結合하는 時間이 짧으면  $N$ 은  $n_1$ 에 比해 無視하게 되어  $\frac{dN}{dt} = 0$ 고  $N$ 은 다음과 같다.

$$N = \frac{a}{A_1 n_1 + A_2(n - n_1)} \quad \dots\dots\dots (10)$$

또한 電子들이 trap에서 充滿되는 率은

$$d(n - n_1 + N)/dt = N A_2 = (n - n_1 + N)$$

이의 近似式을

$$dn_1/dt = -N A_2(n - n_1) \quad \dots\dots\dots (11)$$

(10)과 (11)式을 結合하면

$$dn_1/dt = a A_2(n - n_1)/A_1 n_1 + A_2(n - n_1)$$

이 式의 積分은

$$(I - A_1/A_2)n_1 - A_1/A_2 \cdot n \log(n - n_1/n) = a \cdot t \quad \dots\dots\dots (12)$$

(12)式은 主로  $n_1$ 은 時間  $t$ 에 따라 變化함을 表現한다고 할 수 있다. Fluorescence의 強度  $I = A_1 N n_1$ 이니까 (10)式에서

$$I = \frac{a}{I - A_2/A_1(1 - n/n_1)} \quad \dots\dots\dots (13)$$

上記式에서  $n_1$ 이 죽을 때  $n_1 = at$ 라고 考으면

$$I = A_1 N n_1 = A_1 / A_2 \cdot a^2 t / n \quad \dots\dots\dots (14)$$

여기서  $I-t$  curve가 生기며 slope  $= A_1 / A_2 \cdot a^2 / n$ 가 되고 直線이 된다.  $n_1 \rightarrow n$ 일 때는

$$(n - n_1) \propto \exp(-a \cdot A_2 t / A_1 n) \quad \dots\dots\dots (15)$$

(15)式은 fluorescence의 強度가 平衡近方에서는 指數曲線을 나타낸다고 表現하고 있다. 또한 (14)式, (15)式으로부터  $A_1/A_2$ 의 常數값을 求하게 된다. 實際로는 ZnS-Cu phosphor와 같은 phosphor 材料를 mercury arc로 加熱하여 생긴 glow curves에서도 求하며 curve始初에서는  $A_1/A_2 = 1.3$ 이고 平衡일 때는  $A_1/A_2 = 2.2$ 가 된다.

### 3. Thermoluminescence

#### 3-(1) 基礎理論

1950年代 Schulman, Garlick와 Gibson, Furst, Kalman, Claffy 및 Daniel<sup>3)</sup>等에 依하여 純粹한 Alkali halide에 대한 Ag ion 같은 添加物質(活性劑)을 添加하고 ultraviolet를 照射시킴으로써 發光現象이 생기고 그림 5과 같은 放出機構가 있음을 實驗과 理論으로 發表했으나 이는 亦是 材料의 差만 있지 1940年代 Randall-Wilkins에 依한 것(1, 2章)과 大同小異 하고 Randall-Wilkins의 理論에 根據하여 發展시켰음은 注目할 實事이다. Luminescence도 phosphorescence 때와 近似한 發光機構가 되고 그림 1과 같으나 再次 其機構를 圖示하면 다음과의 그림 5와 같다.

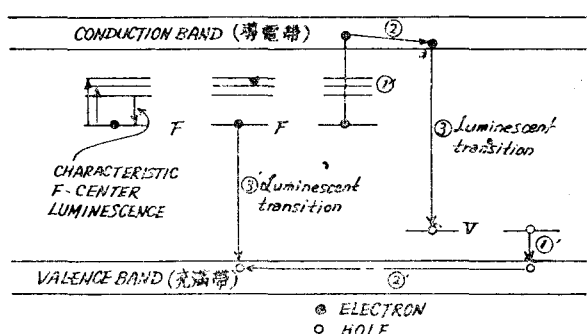


그림 5. Thermoluminescence의 發光機構

그림 5는 特히 Alkali halide(NaCl, LiF 等)에 대 한 것이고 trapped-electron center(F. center)와 trapped-hole center(V center)가 外部載載에 依해서 생기고 F. center의 電子가 外部에서 光量子나 热로 結晶體內의 ion의 振動을 일으키고 電子를 脫出 시킬 수 있는 trap depth  $E$ 는 0.3eV~1.0eV며 F. center에서 電子는 脫出(①)하여 導電帶(conduction band)內에서彷徨 하다가(②) 電子의 energy를 放出 하면서 trap된

hole과 再結合할 때 (③) 放出하는 빛이 發光 또는 luminescence라고 하며 結晶體에 加熱로 생기면 热發光이라고도 한다.

그림 5의 ① 과정이 光吸收로 생기면 이 現象은 光刺戟의 luminescence가 되고 热刺戟으로 이 과정이 생기면 phosphorescence가 된다. 前記한 phosphorescence (1, 2章)는 바로 이것이고 여기에 結晶體에 热을 加한 것, 即 phosphorescence에 热刺戟이 加해지면 thermoluminescence라고 한다.

①, ②, ③의 과정과 近似한 과정이 ①', ②', ③' 과정이 되나, ①'는 hole의 刺激에 依해 充滿帶(valence band)內에 ②' 과정을 通하여 F. center에서 ③'과 정으로 trap된 電子와 free hole(①')이 再結合 할 때도 luminescence가 생긴다.

TLD는 一般的으로 LiF, CaF<sub>2</sub>, CaSO<sub>4</sub>等母體 結晶體에 Mg, Mn, Pb, Ti, Eu等의 活性體(activator)를 添加하여 各種色의 luminescence를 發生시킨다. 따라서 이들活性體를 luminescent ion이라고도 하며 添加方法은 真空蒸着 및 擴散, 混合法等이 있고 doping한다고 하며活性體添加量의 %에 따라서 其色도 變하고 發光強度도 달라짐은 2-(3)에서 記述한 바와 같다.活性體는 不純物(impurity)이라고도 하며 하나의 例로 alkali halide의 Mn<sup>2+</sup>, Ag<sup>+</sup>不純物에 依한 thermoluminescence 과정을 다음과 같은 그림 6으로 表示한다.

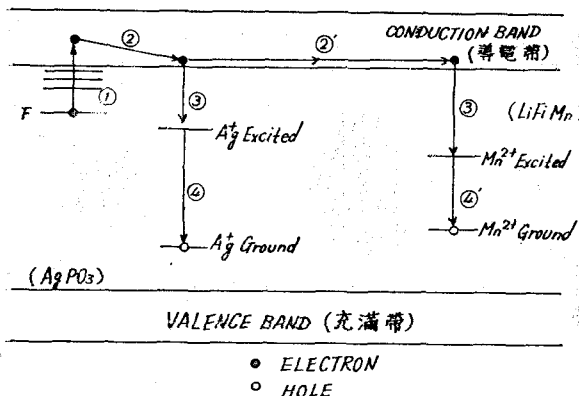


그림 6. Alkali halide 내 不純物인 活性體(Ag, Mn)에 依한 Thermoluminescence 과정

그림 6에서 Ag<sup>+</sup>와 Mn<sup>2+</sup>가 각각 不純物인 活性體로 作用함을 보여 주며 Ag-luminescence는 UV나 blue色을 Mn<sup>2+</sup>-luminescence는 green-orange色을 각各發光한다. 外部刺戟으로 因해서 그림 1, 그림 5와 같아 F center에서 trap된 電子가 導電帶를 通하여 Ag<sup>+</sup> ion 또는 Mn<sup>2+</sup> ion에 依해서 hole에 trap되어 再結合될 때 luminescence가 發光된다.

### 3-(2) LiF의 照射線量(R)과 Luminescence關係

Cameron은 1963년 LiF(TLD 100)의 热螢光體가 照射線量(Roentgen)에 따라서 變化하는 것을 觀測하고 數學的 model로 其過程을 說明하였다. 即 Thermoluminescence強度 TL와 R의 比 TL/R가 R와 比例하여 約 3,000R까지는 이 比例가 成立함을 實證하였고 이 model은 다음과 같다.

$$N = \text{充満 또는 非充満 trap의 數}$$

$$L = \text{어떤 R값에서 充満된 trap의 數}$$

이며 다음과 같은 式이 成立한다.

$$\frac{dN}{dR} = \alpha(N_F - N)$$

$$\frac{dL}{dR} = \beta(N - L)$$

위 式의  $\alpha$ 는 traps形成率定數고,  $\beta$ 도 traps充満確率定數며,  $N_F$ 는 traps 數의 最高值다. 위 式의 解는

$$N = N_0 \exp(-\alpha R) + N_F [1 - \exp(-\alpha R)]$$

.....(16)

$$L = \frac{N_0 \beta}{\alpha - \beta} [\exp(-\beta R) - \exp(-\alpha R)]$$

$$+ \frac{N_F}{\alpha - \beta} \alpha [1 - \exp(-\beta R)]$$

$-\beta [1 - \exp(-\alpha R)]$  .....(17)

(16)式 (17)式에서  $N_0$ 는 最初 생긴 trap의 總數고 (17)式의  $L$ 가 TL의 値을 나타내며 TL은 Thermoluminescence 強度는  $N_0$ 에 가장 크게 比例하고 있음도 알 수 있다.

LiF(TLD-100)에 對한 實驗은 大略 다음과 같이 하여  $N_0$ ,  $N_F$ ,  $\beta$ ,  $\alpha$ 의 値을 決定한다. 即, LiF粉末을 400°C로 1時間 加熱한 다음 7-線源으로 10R~500,000R範圍에 각各 照射했으며 낮은 溫度에 대한 glow peak를 없애기 為해서 100°C로 10分間 또 加熱한 後其 TL의 値을 읽는다. 이것이 R對TL(强度)의 glow curve가 되나同一 R일 때라도 照射時間에 따라서 TL의 glow peak가 다르다. 이 glow curve는 略했으나 이 curve內의 面積이 (17)式으로 表現되며 其 値들은 다음과 같다.

$$N_0 = 1.2 \times 10^{15} \text{ traps/cm}^3, \beta = 1.1 \times 10^{-5} R^{-1}$$

$$N_F = 6.0 \times 10^{15} \text{ traps/cm}^3, \alpha = 1.0 \times 10^{-4} R^{-1}$$

同一한 R때 實際 TL의 値과 (17)式에 依한 TL의 値 사이에는 別差가 없으며 其 偏差는 大略  $\pm 0.4\% \sim \pm 2.7\%$  程度다.

이 TLD는 한번 使用한 後, 即一次 照射後는 300°C로 5分間 加熱하면 前歷이 없어지고 二次照射用으로 할

수 있다. LiF-TLD는 다른 種類의 TLD(CaF<sub>2</sub>;Mn, CaSO<sub>4</sub>;Mn 等)와 같이  $\gamma$ -線 energy(Ca-60)에 대해서其 response가 良好하여 0.1MeV~10MeV에서 其 response가 1.0로 大端히 좋고 0.01MeV~0.1MeV에서는 約 20% 높은 1.2 (=Response)의 값을 가진다. LiF(TLD-100)과 Li<sub>2</sub>B<sub>4</sub>O<sub>7</sub>; 0.1%Mn의 energy dependence curve는 다음 그림 7과 같다.

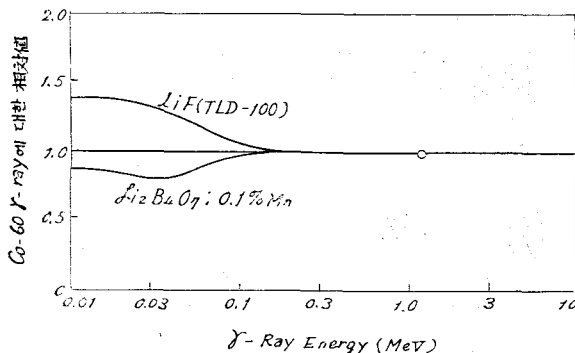


그림 7. LiF와 Li<sub>2</sub>B<sub>4</sub>O<sub>7</sub>; Mn에 대한 energy response

그림 7과 같이 LiF(TLD-100)은 Li<sub>2</sub>B<sub>4</sub>O<sub>7</sub>; Mn와 같이 0.1MeV 以下의 energy에 대한 response는 좋지 못함을 알수있다.

前述한 바와 같이 glow curve內의 面積을 planimeter로 测定하면 放射線照射線量을 求할수 있고 LiF-TLD는 人體被曝 障碍防禦用인 Tissue dose(組織線量)을 测定할 수 있다는 長點을 가지고 있음도 1974年 美國에서 發表하였다.

LiF에는 <sup>7</sup>Li, <sup>6</sup>Li가 있으며 中性子와의 核反應은 速中性子에 對해서는 <sup>7</sup>Li(n,α)<sup>3</sup>H反應, 热中性子에 對해서는 <sup>6</sup>Li(n,α)<sup>3</sup>H反應을 각各 일으키는 故로 速中性子 및 热中性子의 测定에도 使用하여, 生成된 <sup>3</sup>H(Tritium)은 β-線放出, 0.0186MeV의 energy, 半減期는 12.33年이고  $\gamma$ -線은 없다. 따라서 <sup>6</sup>LiF로서 热中性子의 fluence( $\text{n}^1/\text{cm}^2$ )를 tissue에 대하여 测定하여 <sup>6</sup>LiF-albedo dosimeter라고 한것은 1974年 Alsmiller 와 Barish(ORNL)에 依하여 始作되었으며 使用한 Tissue phantom은 直經 30cm의 slab型이었고 slab 中央에 <sup>6</sup>LiF를 polyethylene으로 一次 쌓고 그 위를 0.095 cm두께의 stainless steel로 被覆했고 그 表面에 热中性子가 入射되도록 하였으며 tissue slab 表面에는 減速劑인 Cd(0.079cm 두께)를 둔 것이 特色이다. 이 tissue slab內에서 albedo- $\text{n}^1$ fluence와 dose equivalent值가 测定되며

$$\phi_A = \text{thermal albedo-} \text{n}^1 \text{fluence} (\text{n}^1/\text{cm}^2),$$

$$D = \text{dose equivalent (rem)}$$

이라고 하면  $F_A = \phi_A/D$ 가 되어  $F_A$ 는 relative response function이 되며 其單位는  $\text{n}^1/\text{cm}^2 \cdot \text{rem}$ 으로 表示된다. 中性子 energy가  $10^{-7}\text{MeV} \sim 10^2\text{MeV}$ 까지 사이의  $F_A$ 值는 中性子減速(H<sub>2</sub>O內서)過程과 같이 階段式 減衰現象을 나타내며  $F_A$ 值는 energy 增加에 따라 指數減衰와 같이 變한다.

#### 4-(1) Personnel monitor用 TLD의 特性(4)

現在까지 使用되고 있는 film badge, pocket chamber dosimeter와 最近 關發된 glass dosimeter 및 TLD의 特性을 同一 條件下에서 其特性을 比較檢討함은 大端한 實用的 價值가 있다고 본다.

따라서 다음과 같은 實驗方法으로 各種 個人被曝 線量計에 대한 特性를 實驗한 例를 들기로 한다.

#### 가. 實驗方法

個人被曝 線量管理上 重要한 特性으로서는 ①一定한 照射線量에 대한 線量計測定值의 變動量, ②放射線 照射 以前의 自體線量(pre-dose), ③ TLD를 反復使用할 때의 其 感度의 再現性(reproducibility), ④energy依存性(energy dependency), ⑤ TLD感度의 線量에 대한 直線性(linearity), ⑥ 經時的變化量(Fading), ⑦ 入射放射線에 대한 感度의 方向性(direction sensitivity) 等에 대한 特性 實驗을 Harshaw製 TLD用 LiF單結晶, Teledyne Isotopes社製 Teflon cover LiF, 天然 CaF<sub>2</sub>, 日本塗料製 Mg<sub>2</sub>SiO<sub>4</sub>(Tb), Mg<sub>2</sub>SiO<sub>4</sub>(Tb)+Al foil等에 대하여 同一條件 不에서 照射한 後其線量을 各種 TLD에 대해서 测定한다. 勿論 TLD-reader를 使用하여 計測値을 比較한다. 위의 TLD 照射用線源은 (1) <sup>137</sup>Cs 10mCi, 100Ci, 2,000Ci(치료用 조사장치), (2) <sup>60</sup>C<sub>o</sub> 2,000Ci(치료用 조사장치), (3) X-線 裝置며 照射시키는 X-線은 各種 두께와 材料(Al, Cu)의 filter를 使用하고 加한 管電壓(KV)에서 半價層法(Half Value Layer Method)에 依해서 求한 實効energy(KeV)가 實際로 TLD에 照射된 energy라고 하며 이때 較正用으로 使用된 標準線量計로서는 Victoreen condenser roentgen meter(No. 621, 633, 553)이라고 한다.

#### 나. 實驗結果

Fluctuation(測定值의 變動量), reproducibility(再現性) 및 pre-dose는 다음과 같다. 一般的으로 测定值에 대한 信賴度는 線量計의 感度差, pre-dose의 大小에 左右되어 各 TLD에 10mR, 100mR, 1.0R을 照射했을 때 各測定值의 標準偏差( $\sigma$ )를 %로 表示하면 10%

mR 때는  $\pm 8.6\%$ ~ $\pm 68\%$ , 100mR 때는  $\pm 6.4\%$ ~ $\pm 23\%$ , 1R 때는  $\pm 6.0\%$ ~ $\pm 15\%$ 로 되며 각 TLD 일자라도 照射線이 높을 때 (1R)  $\sigma$ 의 값이 적어짐을 알 수 있다.

Teflon covered LiF TLD는 組織等價用 TLD(tissue equivalent TLD)가 되고 이는 高感度用 TLD에 比較하여 低線量領域에서 其 變動量이 많다. 이는 LiF 單結晶體內의 thermoluminescence 發光中心 및 格子 欠陷(Lattice defect)의 濃度의 不均一性에서 起因한다고 본다. 高感度用 TLD로서는  $Mg_2SiO_4$ (Tb)와  $CaSO_4$ (Tm)의 例를 들면 10mR, 100mR, 1,000mR 照射線量에 對해서 각각 其  $\sigma$ 값은  $\pm 5.8\%$ ,  $\pm 3.1\%$ ,  $\pm 4.5\%$  程度로 大端히 其 變動量이 적음을 알 수 있다.

TLD는 pocket chamber dosimeter를 再充電 시켜서 再使用함과 같이 한번 使用한 後 적당한 热處理(加熱溫度 및 時間은 TLD의 종류에 따라서 다름)를 하면 其 TLD 初期狀態의 感度로 還元된다.

再生處理方法에 따라서 각 TLD의 感度가 變化하며 其 再生方法은 다음 表 2로 表示하였다.

表 2. TLD再生方法

TLD種類	熱處理方法
LiF-teflon	300°C로 1時間加熱 또는 80°C로 2時間加熱
LiF·單結晶體	400°C로 1時間加熱 또는 100°C로 2時間加熱
CaF <sub>2</sub>	400°C로 9秒加熱
CaSO <sub>4</sub> (Tm)	420°C로 30秒加熱
Mg <sub>2</sub> SiO <sub>4</sub> (Tb)	400°C로 30分加熱 또는 500°C로 3時間間時加熱

表 2와 같이 再生處理를 한後 각 TLD의 感度가 照射線量에 따라서 變化하는 效果를 表 3으로 表示했다.

표 3. 各種 TLD의 再生處理後 照射線量에 대한 感度變化

TLD-No.	10mR	100mR	1,000mR
LiF-Teflon	0 25.6±9.0	96±15	1,113±98
	1 27.0±5.3	119±13	1,160±50
	2 29.6±6.3	132±13	1,210±50
	3 33.8±7.9	132±9	1,297±37
	4 30.8±10.3	130±17	1,301±56
LiF	1 16±14	59±18	390±84
	2 16±36	53±23	890±28

	3	11±24	89±17	885±28
	4	-8.2±18	67±10	882±25
CaF <sub>2</sub>	1	8.4±2.04	88.8±9.62	990±98
	2	8.4±1.40	90.9±10.7	1,119±96
	3	8.2±2.45	90.5±9.22	1,119±122
	4	8.3±1.95	88.4±11.4	1,115±87
CaSO <sub>4</sub> (Tm)	1	10.6±0.8	92.1±2.0	911±23
	2	10.5±0.4	91.3±2.8	910±23
	3	10.3±0.4	91.1±3.7	917±25
	4	10.5±0.3	90.9±3.8	918±35
Mg <sub>2</sub> SiO <sub>4</sub> (Tb)	1	11.2±0.94	105±3.5	1,100±30
	2	12.6±1.26	137±5.6	1,180±50
	3	14.4±1.77	151±4.7	1,250±88
	4	14.8±1.68	129±5.2	1,400±84

表 3에서 再生한 感度는 初期(再生前)의  $\sigma$ 와 比較하여 0.5%~7%의 範圍內에 있는 測定值라면 이 TLD는 線量計로서 再現性이 있다고 判斷할 수 있다.

萬一 热處理가 不足하였다면 反復使用과 再生으로其感度가 增加할 때도 있다. 이는 不充分한 再生處理로 照射前歷이 反復照射에 依한 热螢光 發光量에 影響을 주고 있음에 起因한다고 보겠다.

表 3의 Mg<sub>2</sub>SiO<sub>4</sub>(Tb) TLD에서 處理條件을 400°C로 30分 加熱하면 것을 500°C로 3時間 加熱 處理함으로써 更우 好은 再現性을 나타내며 이때 100%程度의 再現性이 可能하다. LiF-Teflon일때 Teflon樹脂는 構成 成分上 充分한 热處理에 難點도 있다.

一般的으로 未照射 TLD를 長期間 放置했을 때 自然放射線의 影響으로 TLD를 加熱하면 發光하고 이 영향을 除去한 狀態 即 각 TLD를 再生處理條件에 따라 處理한 直後 각 TLD가 나타내는 線量을 pre-dose라고 한다. 이 pre-dose는 G-M counter+ ionization chamber檢出器 等의 background에 該當한다.

表 4로써 各種 TLD의 background(pre-dose)의 値를 表示한다.

表 4. 各種 TLD의 Background(Pre-dose)

LiF-Teflon	LiF	CaF <sub>2</sub>	CaSO <sub>4</sub> (Tm)	Mg <sub>2</sub> SiO <sub>4</sub> (Tb)
mR	mR	mR	mR	mR
30±7.8	41±12	0.0	0.0	1.56±1.88
				0.61±0.107*

\* Al-foil로 覆被, 500°C에서 3時間 處理할 때

表 4에서  $\text{CaF}_2$ 와  $\text{CaSO}_4(\text{Tm})$ 의 background는 無인 것이特色이고, 高感度用 TLD인  $\text{CaF}_2$ ,  $\text{CaSO}_4(\text{Tm})$ ,  $\text{Mg}_2\text{SiO}_4(\text{Tb})$  等의 pre-dose는 再生處理로 結局 0mR  $\sim 0.61\text{mR}$  程度인 故로 가장 좋은 感度를 나타낸다. 따라서  $\sim \text{mR}$ 의 低線量測定用 個人被曝線量計로서 勸告하게 되는理由中의 하나가 되겠다.

한편 組織等價(Tissue equivalent) TLD의 pre-dose는 數 10mR程度(LiF-teflon TLD)로相當히 높고 計測值의 換動도 커서 低線量測定 때 其誤差가 많다는것을 留意해야 한다.

#### 다. Energy依存性과 線量率 및 線量依存性

照射하는 photon energy에 對한 TLD의 感度를 보면 그림 8과 같다.

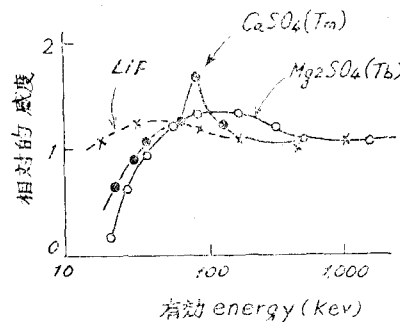


그림 8. 몇 가지 TLD에 대한 energy response

그림 8에서 較正用 線源은  $^{60}\text{Co}-\gamma$ 線源으로서 各 TLD에 대한 energy response를 알수 있으며 約 0.1mR의 低線量測定도 可能한  $\text{Mg}_2\text{SiO}_4(\text{Tb})$ -TLD는 낮은 有効energy인 30KeV 때도 感度가 나타남을 알수 있고 LiF-

TLD는 이보다 感度가 數倍나 높고, teflon을 cover 함으로서 tissue-dose 测定이 可能하며  $\beta$ ,  $\gamma$ -X線 测定用뿐만 아니라  $^6\text{LiF}$ 는 热中性子 测定用이되고  $^7\text{LiF}$ 는 中性子 测定用이 된다.

또한  $\alpha$ -粒子 测定用으로 可能하며 30KeV에서 1,000 KeV까지는 其 energy response가 다른 TLD보다 平坦하여 良好함을 그림 8로써 보여 주며 感度의 變化는 標準值인 1에서  $1 \pm 0.5$ 範圍內에 있다.

高感度用 線量計로 使用할 때는 holder case에 넣지 않으며 LiF만으로서  $^{60}\text{Co}-\gamma$ 線에 對한 感度는 30KeV近方에서 大端히 높다. 또한 그림 8은 filter를 불임으로써 energy依存性이 높아진다는 것도 알수 있다.

放射線被曝에서 線量率의 高低는 使用場所와 用途에 따라서 다를것이고 낮게는 自然放射能에 依한 線量率에서 높게는 核臨界事故, 核燃料再處理工場等에 對한 여러가지 線量率이 있을것이나 여기서는 이 線量率變化에 依한 感度의 依存性을 10mR/sec.와 1 R/sec. 일때에 對한 各種 TLD의 感度變化를 調査하면 다음 表5와 같다.

表 5의 數值은 10mR/sec 때의 感度로서 標準化(Normalization)한 것이고 各 TLD의 誤差는  $\pm 0.02 \sim \pm 0.085$ 範圍內에 있고 其 感度變化가 極少함을 알수 있다. 이는 電離現象을 利用한 G-M tube 檢出器나 pocket chamber dosimeter와 같이 放射線에 依해 生成된 ion의 再結合으로 因한 線量率依存性變化와 相異하여 固體 TLD인 故로 放射線照射로 因한 生成된 hole-electron pair의 再結合損失은 적어서 線量率依存에는 거의 無關하다고 하겠다. 따라서 線量率이 다른 場所 및 作業場에서 個人防禦用 線量率測定器로 使用함에 適合함을 알수 있다.

表 5. 各種 TLD의 線量率 依存性

線量率	LiF-Teflon	LiF	$\text{CaF}_2$	$\text{CaSO}_4(\text{Tm})$	$\text{Mg}_2\text{SiO}_4(\text{Tb})$
10mR/sec	$1.00 \pm 0.05$	$1.00 \pm 0.027$	$1.00 \pm 0.085$	$1.00 \pm 0.02$	$1.00 \pm 0.045$
1R/sec	$0.98 \pm 0.04$	$0.96 \pm 0.04$	$0.96 \pm 0.04$	$0.99 \pm 0.061$	$1.03 \pm 0.029$

表 6. 各種 TLD에 대한 線量依存性

線量	LiF-Teflon	LiF	$\text{CaF}_2$	$\text{CaSO}_4(\text{Tm})$	$\text{Mg}_2\text{SiO}_4(\text{Tb})$
10mR	$2.31 \pm 0.081$		$0.93 \pm 0.031$	$1.13 \pm 0.05$	$1.00 \pm 0.044$
100mR	$0.86 \pm 0.135$	$0.80 \pm 0.178$	$0.96 \pm 0.129$	$1.01 \pm 0.033$	$0.93 \pm 0.045$
IR	$1.00 \pm 0.09$	$1.00 \pm 0.0355$	$1.00 \pm 0.09$	$1.00 \pm 0.030$	$1.00 \pm 0.048$
10R	$0.89 \pm 0.0459$	$1.06 \pm 0.020$		$1.01 \pm 0.033$	$0.96 \pm 0.043$
100R	$0.92 \pm 0.0594$	$1.05 \pm 0.020$			$1.10 \pm 0.063$

表 7. 各種 TLD의 退化現象

TLD	1h <sub>2</sub>	1day	2days	10days	20days
LiF-Teflon	0.84±0.058	0.83±0.041	0.83±0.041	0.84±0.074	0.84±0.033
LiF	1.00±0.010	0.98±0.019	0.98±0.019	0.96±0.021	0.95±0.034
CaF <sub>2</sub>	0.967±0.011	1.01±0.158	1.01±0.158	0.98±0.013	1.00±0.156
CaSO <sub>4</sub> (Tm)	0.967±0.011	0.93±0.020	0.92±0.020	0.92±0.013	0.92±0.11
Mg <sub>2</sub> SiO <sub>4</sub> (Tb)	0.99±0.055	1.05±0.042	1.07±0.052	1.13±0.07	1.03±0.03

TLD가 個人被曝線量管理에 適合함을 보여주기 爲한 實驗으로서 10mR~100R을 被曝管理範圍라고 假定하여 이 範圍의 線量에 대한 各種 TLD의 感度變化를 求한 結果는 表 6과 같다.

表 6에서 보는 바와 같이 LiF-Teflon 以外는 照射線量이 增加함으로써 其 感度의 變化는 매우 적고 特히 Mg<sub>2</sub>SiO<sub>4</sub>(Tb)와 CaSO<sub>4</sub>(Tm)는 全照射線量範圍에서 平均 ±5%程度의 誤差로 大範히 적은 값이니 低線量測定 및 個人被曝線量計로서 適合함을 알수 있고 組織等價用 TLD인 LiF-Teflon는 低線量(~10mR~100mR) 線量計로서는 不適當함도 表 6에서 알수 있다. 이는 predose가 높기 때문이라고 解釋된다.

#### 라. 經時的變化 및 方向依存性

個人防禦用(被曝線量管理) Dosimeter로서 其 作業性質에 따라서는 長期間에 걸쳐 被曝線量을 測定해야 할 境遇도 있다. 이때의 線量計感度는 計測值의 經時的變化에 關係되고 退化現象이 된다. 이 現象은 energy 및 方向依存性과 相異한 發光體 固有의 特性이 되며 이는 表 7과 같이 TLD 種類에 따라서 時間經過과 더불어 其 計測值가 增加 또는 減少한다.

上記表 7과 같이 Mg<sub>2</sub>SiO<sub>4</sub>(Tb)와 CaF<sub>2</sub>는 時間に 過程에 따라 測定值의 增加를 볼수있고 LiF와 CaSO<sub>4</sub>(Tm)는 反對로 時間經過에 따라 減少했음을 알수 있다. 그러나 어느 線量計든 照射直後의 感度를 比較하면 10%程度其測定值의 增減이 있으므로 이들 線量計는 一定한 期間동안 照射시킨直後 丟其 線量을 測定判讀함이 좋다. 但 LiF系線量計는 被曝後 一時間以內에서 80% 程度의 原計測值가 되나 其後 時間經過에는 別變化가 없이 거의 一定值를 維持함도 特色이 있다고 하겠다.

TLD에 對한 照射時의 溫度特性으로서 Mg<sub>2</sub>SiO<sub>4</sub>(Tb)와 CaSO<sub>4</sub>(Tm)-TLD는 照射時의 溫度 0°C~50°C 사이에서는 其感度가 別로 變하지 않는 것도 特色이라고 하겠다. 一般的으로 放射線이 우리 人體에 被曝될 때 大部分은 放射線의 入射方向이 未知일 때가 많다. 따

라서 個人被曝線量計로서는 方向性(Direction dependance)이 적은 것이 要望된다. 勿論 球形線量計로 하면 되겠지만 實用上 球形 TLD는 困難하다. 따라서 몇가지 TLD에 대한 水平方向 및 垂直方向에 대한 方向依存性을 보면 表 8, 9와 같다.

表 8. 各種 TLD의 水平方向感度

角度	LiF-Teflon	LiF	CaF <sub>2</sub>	CaSO <sub>4</sub> (Tm)	Mg <sub>2</sub> SiO <sub>4</sub> (Tb)
0°	1.00	1.00	1.00	1.00	1.00
30°	1.00	0.96	1.00	1.03	0.73
60°	0.93	0.88	1.00	0.97	0.46
90°	0.84	0.77	1.00	1.03	0.69

表 9. 各種 TLD의 垂直方向感度

角度	LiF-Teflon	LiF	CaF <sub>2</sub>	CaSO <sub>4</sub> (Tm)	Mg <sub>2</sub> SiO <sub>4</sub> (Tb)
0°	1.00	1.00	1.00	1.00	1.00
30°	1.00	0.96	0.99	1.12	1.06
60°	0.93	0.88	1.26	2.41	1.00
90°	0.84	0.77	2.06	3.74	1.03

表 8과 같이 Mg<sub>2</sub>SiO<sub>4</sub>-TLD는 水平方向에서 入射方向의 變化로 其感度가 顯著하게 變化하나 反面 其他 TLD에 對한 方向依存性은 거의 欠음할 수 있다. 한편 表 9와 같이 Mg<sub>2</sub>SiO<sub>4</sub>(Tb)-TLD는 垂直方向의 方向依存性은 極少하나 CaF<sub>2</sub>와 CaSO<sub>4</sub>(Tm)-TLD의 方向依存性은 大端히 基하다는 것을 알수 있다. 따라서 이들 TLD를 個人防禦用으로 使用할 때 각 TLD에 對한 方向特性을 事前에 測定해야 하겠고 또한 case에 넣어 着用할 때도 入射方向 即 被曝方向을 考慮하여 着用함이 切實히 要求된다.

#### 마. TLD와 他線量計와의 特性比較

個人被曝線量計를 選擇함에 있어서 現在까지 使用해오던 film-badge 및 pocket chamber(X-ray, γ-ray

用)와 glass dosimeter 및 TLD(現在 使用)와의 相互特性을 比較함은 大端히 有益하며 比較의 對象은 主로 pre-dose, energy 依存性, 方向依存性 및 線量率依存性에 對한 感度變化와 同時에 經時的 感度變化에 對해 서도 몇가지 TLD와 比較하기로 한다. 表 10은 pre-dose에 대한 比較 結果值다.

表 10. Personnel monitor에 대한 Pre-dose

Dosimeter	Pre-dose	試料의 數(個)
Film badge (X-ray用)	22±7mR	60
Filmbadge (γ-ray用)	59±30mR	60
Pocket chamber	5.2mR/5日	25
Glass dosimeter (FD-p8-3)	243±45mR	70
TLD	0.61±0.107mR	10

表 10에서 보는 바와 같이 TLD에 比하여 其他線量計의 Pre-dose는 36倍에서 400倍程度나 높아서 個人防禦用 低線量測定用으로 TLD以外는 모두 不適當함을 如實히 나타내고 있다. 따라서 筆者が 現在까지 TLD着用을 勸告해온 根據中の 하나이며 IRPA(International Radiation Protection Association)에서 開催한 國際學術會에서도 積極 勸誘하고 있는 所致라고 본다. 國內에서는 古里原子力發電所(核發電所) 從事者들에게 TLD線量計를 着用하여 個人 放射線防禦用으로 하고 있음은 多幸한 일이며 其他 各種放射線 施設에 從事하는 被曝者에게도 TLD使用은 當然之事라고 하겠다.

다음은 線量計의 energy依存性 問題이며 그림 9로서 film badge(Cd-filter 付), pocket chamber 및 glass dosimeter(Sn-filter 付)에 대한 energy 感度曲線을 表示했다.

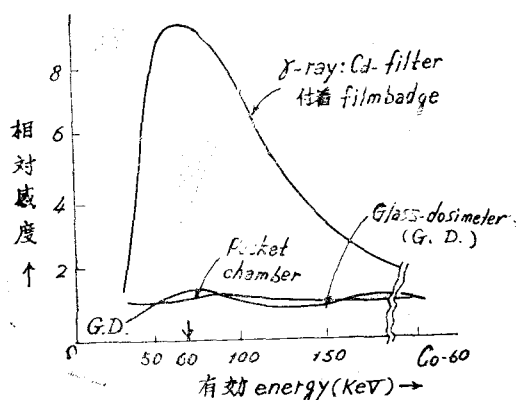


그림 9. Energy 依存性

그림 9에서 pocket chamber dosimeter는 空氣電離를 利用함으로 其 energy 依存性은 別로 나타나지 않음을 알수 있고 또한 glass dosimeter(PD-No-3)-Sn-filter 付着으로 energy 依存曲線이 平坦하며 TLD와 近似하다.

이와 反對로 film badge는 Cd-filter를 付着시켜도 energy 依存性은 改善되지 못하고 約 60KeV에서 Co-60 γ-線에 對한 感度의 約 9倍나 높은 感度고 最高 最低로 其 感度가 energy 變化에 따라서 甚함을 如實히 나타낸다. 但 Sn(0.8mm)+Pb (0.5mm)-filter를 使用하면 이 現象은 없어진다.

線量率依存性은 그림 10과 같다.

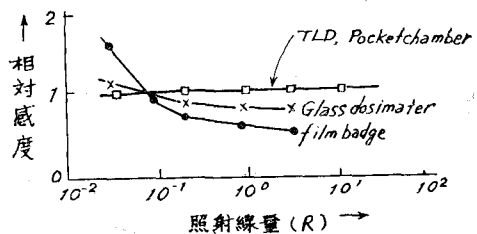


그림 10. Personnel monitor用 各種 Dosimeter의 線量依存性

그림 10에서 TLD는  $10^{-2}R \sim 100R$ 까지 其 感度의 變化가 없이 거의一定한 感度임을 알수 있고 Pocket chamber dosimeter도 이와 近似한 線量依存性이나 0.1R以下에서는 TLD보다 感度가 不良하여 個人防禦用 低線量과 이의 集積線量 및 低線量率測定에는 不適當하며 앞에서도 指適된 바 있다. 特히 film badge는 30 mR 때와 1R 때의 感度比는 3.5로 他線量計에 比하여 線量에 對한 感度變化가 甚함을 보여주고 있다. 따라서 film badge는 energy別(그림 9 참조) 線量別로 이에 맞는 film badge를 각각 着用해야만 하는 不便이 있다.

結局 TLD로서 energy 依存性이 적고 廣範圍의 線量 및 線量率計로 着用함이 個人被曝線量計로서 現在 가

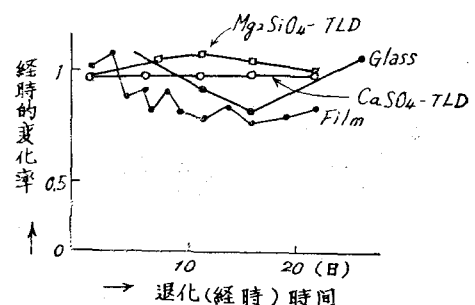


그림 11. 各種線量計의 經時的變化率

장 適合함을 알 수 있다.

各種線量計에 對한 經時的變化를 比較함도 重要하며 이에 대 한 比較曲線은 그림 11로 表示할 수 있다.

그림 11에서 film badge와 glass dosimeter의 經時的變化率이 가장 顯著함을 보여 주며 測定值의 信賴度가 低下되고 1週日間 또는 1個月間 film badge를 着用 被曝線量을 測定할 때 其誤差가 가장 많다.

方向依存性도 personnel monitor로서는 重要한 要素의 하나이며 放射線의 入射方向이 未知일 때 이 問題가 台頭된다. 따라서前述한 film badge, pocket chamber 및 glass dosimeter(FD-P6-3, 球型 Sn-filter 付着)에 대 한 方向依存性을 比較하면 그림 12와 같다.

即 film badge는 入射X線이 90° 일 때만 其 感度가 1이 되고 其他 入射角에서는 不良함을 알 수 있고 高感度用 TLD는 이보다 良好함을 알 수 있다.

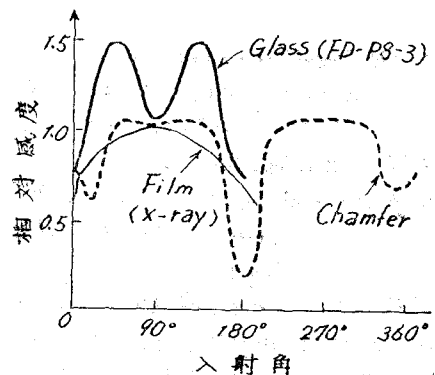


그림 12. Film, Glass dosimeter 및 Pocket Chamber의 方向依存性.

## 5. TLD의 最近動向

環境放射線量測定 및 X線診斷用 低線量測定으로 個人被曝線量을 評價함은 매우 重要하며 LiF(TLD-100), CaF<sub>2</sub>:Dy(TLD-200) 및 CaSO<sub>4</sub>:Dy(0.1%~0.5%) Dosimeter로 mrad範圍의 低線量을 測定하며 單結晶體인 TLD-100과 200은  $6.35 \times 6.35 \times 0.9\text{mm}^3$ 의 크기를 가지고 있다. 特히 TLD-200과 CaSO<sub>4</sub>:Dy dosimeter의 線量에 대 한 感度는 近似하고 線量對感度는 直線性이며 0.01mR에서 1,000mR(1R)까지 良好한 測定結果를 나타내고<sup>5)</sup> 이를 그림 13으로 表示한다.

Energy에 대 한 response도 TLD-200은 TLD-100보다 良好하여 10KeV에서 1,500KeV範圍까지 TLD-100 일 때는 其相對感度가 約 1로서 變化가 없는데 反하여 TLD-200은 40KeV에서 其最高感度를 나타내고 10KeV 때 1, 200KeV 때도 1이 된다. 이 energy response는

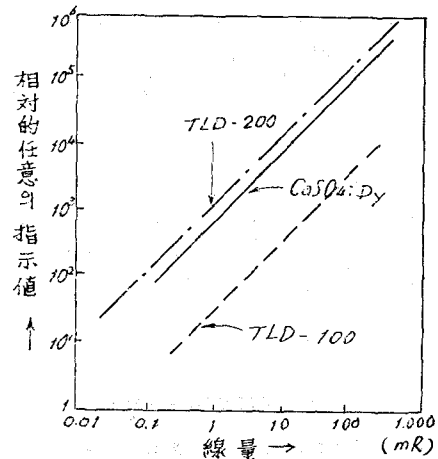


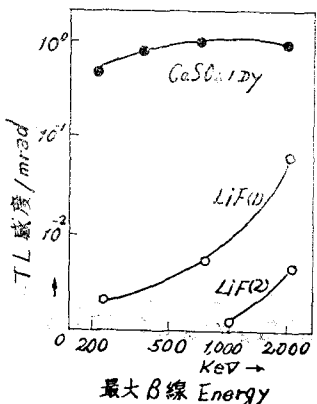
그림 13. TLD의 相對的感度.

Van de Graaff 加速器를 利用하여 測定했고 C<sub>60</sub>, Cs-137의 1.25KeV와 662KeV의 energy source도 使用되었다. 較正된 TLD-200은 自然放射線測定에 使用하고 6時間 自然環境에 放置하여  $11 \pm 1.5\text{ }\mu\text{R/h}$ 의 値을 얻었다고 한다.

Benkó, et al.<sup>5)</sup>은 LiF와 CaSO<sub>4</sub>:Dy에 대 한 Beta ( $\beta$ )線感度 및  $\beta$ - $\gamma$ 線感度를 測定했으며  $\beta$ -energy 200 KeV에서 2,000KeV範圍에 대 한 CaSO<sub>4</sub>:Dy, LiF 및 CaF<sub>2</sub>:Mn의 相對的感度를 %로 表示했다. 即 200KeV  $\beta$ -energy에 대 한 感度는 CaSO<sub>4</sub>:Dy=70%, LiF(0.6 mm)=20%, LiF Chip(0.76mm) 및 CaF<sub>2</sub>:Mn Chip(0.76mm)=5%였으나 2,000KeV 때는 모두 約 90%程度로 同一值를 나타냈다.

TL Response/mrad—Beta energy(KeV)의 値은 CaSO<sub>4</sub>:Dy와 LiF에 比하여 越等히 優秀하며  $\beta$ -200KeV 때 CaSO<sub>4</sub>:Dy=0.5, LiF=0.002고  $\beta$ -2,000 KeV 때 CaSO<sub>4</sub>:Dy=1, LiF=0.1로 CaSO<sub>4</sub>:Dy의 energy response/mrad가 優秀함을 보여준다. 勿論  $\beta$ -Source는 Pm-147, Tl-204, 및 Sr-90-Y-90를 使用했을 때이며 方向依存性도 0°~90°에서 CaSO<sub>4</sub>:Dy와 LiF보다 多少 良好하나 各  $\beta$ 線源의 核種에 따라서 其感度는 다르며 Pm-147 일 때 CaSO<sub>4</sub>:Dy의 相對感度는 約 1.25(energy = 1,250KeV)고 LiF은 Sr-90-Y-90  $\beta$ 線 1,250KeV 때 平均 約 1.1의 相對感度를 나타낸다.

結果의 으로 低 energy 때의 線量測定이 正確치 못하며 今後의 開發이 要望되며 特히 LiF dosimeter는 50 KeV 以下에 대 한  $\gamma$ -線의 感度(response/mr)가 CaSO<sub>4</sub>:Dy에 比해 낮으며 最下 0.3~2.5 程度고 CaSO<sub>4</sub>는 8 程度다. 또한  $\beta$ - $\gamma$ 混合放射線에 純  $\beta$ 線만의 測定에는 Three-element dosimeter라하여 1個의 perpex case內

그림 14. Three-element dosimeter의  $\beta$ -線感度

예 Al disc-CaSO<sub>4</sub>:Dy, Al차폐(1.5mm); LiF(1) 및 Pb차폐(0.5mm), LiF(2)의 順位로 Sandwich型의 構造로 만들어  $\beta$ 線 energy에 대한 TL response/mrad를 测定하는 不便한 點이 있다. Three-element dosimeter를 利用하여  $\beta$ 線을 测定한 結果는 그림 14와 같다.

Ettinger, Takavar, Mallard 및 Buchan氏<sup>6)</sup>等은 人體內部被曝 線量測定과 生化學的 線量測定을 為한 低線量 線量計(10mrad 以內도 可)를 開發했으며 이는 Luminol의 使用이 基本螢光 發光體가 되며 이構成은 5-Amino-2, 3 dihydro-1, 4-phthalazinedion이며 放射線被曝에 依한 發光機構은 尚今 完全하게 究明되어 있지 않다. Luminol과 怡似한 Lucigenin도 있고 이는 N, N-dimethyl-9, 9-biacridinium dinitrate로 構成되어 Luminol과 같이 一種의 Sensitizer라고 稱하고 이들을 蒸溜水(solvant)에 混合하여 scintillator로 使用한다. Luminol의 濃度(mg/g<sub>H2O</sub>)에 따라서 light out는 變하며  $\sim 10^{-6} \sim 10^{-2}$  mg/g<sub>H2O</sub>까지는 直線性(10krad 照射 때)이 維持된다. 放射線照射到 H<sub>2</sub>O는 H<sup>+</sup>, OH<sup>-</sup>의 free radical도 生기고 OH+OH $\rightarrow$ H<sub>2</sub>O<sub>2</sub>(Hydrogen peroxide)의 有毒性 物質도 生成되며 O<sub>2</sub>(dissolved oxygen)도 生成됨은 既知의 事實이며 O<sub>2</sub>-pressure (mmHg)에 따라서 luminol solution의 light out-put 또는 light yield(任意의 單位)는 變하여 兩者사이에 있어서 O<sub>2</sub>-pressuer =  $3 \times 10^1 \sim 1.1 \times 10^3$  (mmHg) 때 light yield = 2~5.8이 된다.

Luminol solution內에 Trehalose·2H<sub>2</sub>O를 混合하여 농도를  $2.31 \times 10^{-3}$  mole/ml, pH=11.5로 하여 8rad~10<sup>3</sup>rad吸收線量에 대한 light yield/mg은  $10^3 \sim 10^6$ 으로 거의 直線性을 나타내며 이를 그림 15로 表示했다.

最近 TLD開發過程을 보면 첫째는 發光體 自體素材와 其特性研究이며 둘째는 TLD와 結合한 計測裝置의

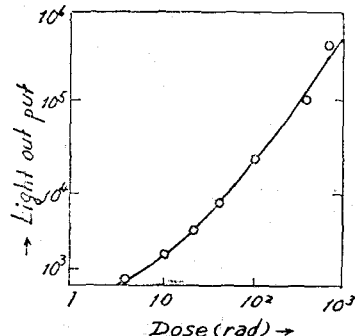


그림 15. Luminol solution에 대한 線量計 lightoutput 開發이라고 볼 수 있고 셋째는 TLD의 應用으로 醫學分野, 環境放射線과 放射線管理分野가 된다.

### 5-(1) 發光體研究

TLD 發光體의 開發研究는 大體로 두가지 方向이 있다. 그 첫째는 低原子番號發光體의 高感度化고 둘째는 高原子番號發光體의 새로운 開發이며 아울러 應用面에 適合한 素子의 形態도 開發하고 있다.

低原子番號 素子의 하나는 이미 널리 알려진 LiF-TLD가 있다. 이는 高原子番號 素子인 CaSO<sub>4</sub>(Tm), Mg<sub>2</sub>SiO<sub>4</sub>(Tb)素子와 比較하면 其感度는 1/20~1/40이었으나 LiF에 Mg, Cu이온 外에 磷酸암모니아를 添加하면 CaSO<sub>4</sub>(Tm)과 其感度가 同一하게 되고 Mg SiO<sub>4</sub>(Tb)와 比하면 2/3程度의 感度가 된다. 特히 LiF系보다 軟組織體에 가까운 原子番號인 Li<sub>2</sub>B<sub>4</sub>O<sub>7</sub>에 Cu와 Ag를 添加하면 在來 使用해 오던 Li<sub>2</sub>B<sub>4</sub>O<sub>7</sub>(Mn)의 感度보다 約 3倍의 感度가 된다고 報告하고 있다<sup>7,8)</sup>.

한편 高原子番號素子로서 X線의 實効에너지率를 测定함에 必要한 SrSO<sub>4</sub>:Dy, 및 BaSO<sub>4</sub>:Dy도 開發되어 其特性으로 Fading은 照射後 热處理가 適切하면 10日間 5±1% 感少하며 Harshaw-CaSO<sub>4</sub>:Dy와 比較하여 감도는 각각 90%와 27%가 된다. 또한 energy依存性은 <sup>60</sup>C<sub>0</sub> X-線에 比하여 50KeV에서 각각 80倍, 100倍가 되니 SrSO<sub>4</sub>:Dy은 TLD目的에 適合한 發光體라고 할수 있다.

Regulla<sup>9)</sup>는 非結晶質인 メタ磷酸 glass에 Mn이온을 添加하여 10mR에서 10<sup>6</sup>R까지 廣範圍의 線量을 测定하는 TLD를 開發했고 其精密度는 Harshaw製 LiF보다 높고 再次 使用할때 再生 热處理가 不必要하다는 特徵을 가지고 있다. 또한 이는 任意의 形態로 만들 수 있어서 球形 TLD로 하여 放射線의 入射方向에 대 한 情報도 얻을 수 있다.勿論 Mn含有量에 따라서 反復使用時 其測定值의 標準偏差의 값이 달라지나 大略

$\pm 3.5\%$  以內의 變動을 나타낸다. in vivo用 TLD는 低原子番號素子라야 하고 體內에 投入할 수 있다. 但 LiF는 물에 可溶性이고 生體에는 毒性이 있다. 따라서 生體用 TLD-LiF는 不溶性物質의 被膜을 하여야 한다. 이 方法은  $\text{SnCl}_4$ -smoke(煙氣)속에 LiF를 두었다가 其後 加熱하여 LiF表面에 透明한  $\text{SnO}_2$ 를 만들어 保護膜인 被膜을 만든다. 特殊한 材料로서 核實驗 때 被曝된 地域의 線量測定에 用을 使用 할수도 있다고 한다. 이와 같은 異常被曝時의 線量測定을 為한 材料中 하나는 時計 속에 들어 있는 Ruby( $\text{Al}_2\text{O}_3:\text{Mn}$ )도 利用된다. 이 Ruby의 發光은 Mn 添加物濃度가 增加함에 따라 生기는 trap數의 增加와 再結合中心의 數가 增加하는데 달려 있다.

### 5-(2) 粒子線, 紫外線에 대한 感度

各種 發光體 即  $\text{Li}_2\text{B}_4\text{O}_7(\text{Mn})$ , TLD-100-LiF, TLD-700-LiF 및  $\text{CaSO}_4(\text{Dy})$ 에 대한 alpha粒子線 energy(MeV)對 感度를 表示하면 下과 같다.

表 11. Alpha粒子線 energy에 대한 TLD感度變化

Alpha線 energy (MeV)	Alpha線에 대한 상대 감도			
	$\text{Li}_2\text{B}_4\text{O}_7$ (Mn)	TLD-100 LiF	TLD-700 LiF	$\text{CaSO}_4$ (Dy)
$^{210}\text{Po}-\alpha$ 線 (5.3 MeV)	37			29
4.7	$30.9 \pm 2.9$		$21.1 \pm 1.2$	
4.48		$23.4 \pm 1.0$		
3.86		$24.5 \pm 1.0$		
3.8	$31.3 \pm 2.1$		$21.9 \pm 0.9$	
2.85		$20.9 \pm 1.0$		
2.8	$29.1 \pm 2.4$		$18.3 \pm 0.9$	
1.7	$19.5 \pm 2.7$		$15.4 \pm 1.1$	
1.68		$13.0 \pm 2.0$		

表 11에서 相對感度는  $^{60}\text{Co}-\gamma$ 線에 대한 感度를 100으로 한 값이고 各發光體의 感度는  $\alpha$ -粒子의 energy가 低下됨에 따라 減少하는 傾向을 나타내고 있다. 따라서 今後에는 이를 補正하는 方法이나 TLD의 開發이 要求되는 것이다.

紫外線에 대한 生物體의 影響을 調查함에 其 紫外線强度를 TLD로 測定하기 始作 했으며 各種 TLD에 대한 紫外線感度는 表 12와 같다.

表 12에서  $\gamma$ 線感度가 높은 TLD가 紫外線에 대해서는 낮은 것도 있다.

紫外線波長에 따라서도 其 感度는 變하여 이는 TLD

表 12. 紫外線 253.7mm에 대한 TLD의 相對感度<sup>10</sup>

TLD	製作社	조사 전 열처리 조건	상 대 TLD 감도
$\text{Mg}_2\text{SiO}_4:\text{Tb}$	大日本塗料	500°C-1h	100
$\text{Al}_2\text{O}_3:\text{S:T}$	"	500°C-1h	11.5
$\text{CaSO}_4:\text{Tm}$	"	500°C-1h	3.2
$\text{CaSO}_4:\text{Dy}$	"	500°C-1h	0.09
LiF TLD-100	Harshaw U.S.A.	400°C-1h & 89°C-24h	0.009
$\text{Li}_2\text{B}_4\text{O}_7:\text{Mn}$	"	300°C-30min	0.007

發光體內의 光物性的 特性에 크게 起因된다고 하겠다. 紫外線에 대한 感度를 向上시키기 為하여 光刺戟誘導熱發光(photostimulated thermoluminescence)法이 開發되고 있다. 이 方法은 高溫에서 放射線에 照射하든지 室溫에서 照射하든지 한後 離解한 온도로 열처리를 하여 發光體內의 電子를 capture한 trap를 만들게 하고 이를 發光體에 光 또는 放射線을 照射한 경우 未處理發光體의 감도 보다 處理發光體의 感度가 높은點을 利用한 것이다. Mehta<sup>11</sup>等은 10<sup>4</sup>rad를 照射하여 처리한  $\text{Al}_2\text{O}_3(\text{Si}, \text{Ti})$  素子에 대한 紫外線照射는 未處理 TLD=500~ $5 \times 10^4$ mJ/cm<sup>2</sup>인데 反하여 處理 TLD=0.01~100mJ/cm<sup>2</sup>가 된다고 報告하였다. 이와恰似하게 TLD-100-LiF에 대하여서도  $5 \times 10^4$ R 조사하여 300°C로 1分間處理한 LiF는  $6 \times 10^3 \mu\text{J}/\text{cm}^2$ 까지 直線的으로 热發光量이 增加하고 0.1~50 $\mu\text{J}/\text{cm}^2/\text{sec}$ 의 照射光에 대해서는 其 光量의 影響은 없다고 한다.

紫外線의 照射量과 發光 光量 사이에는  $\gamma$ 線인 경우와 같이 非直線性이 있다. 現在까지 TLD發光體의 放射線에 대한 特性研究는 對象이 主로 X,  $\gamma$ , 中性子線 및 高energy 電子線이였고  $\beta$ 線,  $\alpha$ 線에 대한 特性研究는 적었다.

表 11에서 LiF-100은 7.5%의  $^6\text{Li}$ , LiF-700은 0.09%의  $^7\text{Li}$ 가 각각 包含된 phosphors에  $^6\text{Li}$ 에 대한 热中性子斷面積  $\sigma = 945 \text{ barns}$ 으로 原子爐內의 热中性子測定에 使用되고 其 反應은  $^6\text{Li}(n,\alpha)^3\text{H}$ 고 速中性子測定用으로는  $^7\text{Li}(n,\alpha)^3\text{H}$ 의 反應을 利用하게 된다. LiF의 感度와 阻止能(Stopping Power)사이의 關係는 單一 또는 二重 trap-model을 假定하여 計算한 結果의 對比를 取하여 LET<sub>α</sub>(KeV/ $\mu\text{m}$ )對 相對 TLD感度 曲線을 用いて trap-model을 근거로 하여  $\alpha$ -線( $^{210}\text{Po}$ ),  $^{60}\text{Co}-\gamma$ 線, 陽子 및 電子線에 대하여 Jahnert가 理論的으로 計算하여 圖示한 것이 있으며 各放射線에 대해 두 가지 理論值 사이에 別差異가 없음이 밝혀졌다. 中性子用 TLD開發로  $\text{CaSO}_4 + \text{Dy}_2\text{O}_3 + \text{KCl}$ 의 pellet形으로

로 하고 Dy가 热中性子斷面積이 큰 것을 利用(<sup>6</sup>LiF와 같음)하여, 热中性子測定은 K를 利用하여 中速中性子測定을 한다. 이 方法으로  $10^9 \text{n/cm}^2$ 의 热中性子와  $10^{10} \text{n/cm}^2$ 의 中速中性子에 대한 檢出이 可能하여 之고 在來의 CaF<sub>2</sub>素子에 Recoil proton 發生材인 砂糖과 포리에티렌을 使用하여 速中性子를 檢出한다. Albedodosimeter도 1970年以後부터 많이 研究되어 왔고 組織體(Tissue)의 成分을 正確히 導入하여 電子計算機에 依한 多群中性子 energy에 대한 線量當量의 値을 求해 왔다.

### 5-(3) 線量率과 感度

近來 TLD의 基本特性中 가장 問題視 되는 것은 感度의 線量率依存性이 된다. 이 線量率依存性은 發光體에 따라서 差異가 있고 TLD-100 LiF로서는  $1.2 \times 10^{11} \text{ R/sec.}$  以上에서 其 感度가 顯著하게 떨어진다. CaF<sub>2</sub>:Dy(Harshaw), CaSO<sub>4</sub>:Dy, CaSO<sub>4</sub>:Tm, CaSO<sub>4</sub>:Dy(Harshaw), <sup>7</sup>LiF(Harshaw)等에 대하여 線量率의範圍  $12 \text{mR/min} \sim 0.04 \text{mR/min}$  사이의 相對 TLD 感度는  $30 \sim 1,200$ 까지 變하고 있으며 感度가 높은 順位로 表示하면 線量率  $2 \text{mR/min}$ 에서 CaF<sub>2</sub>:Dy(Harshaw) > CaSO<sub>4</sub>:Dy 및 CaSO<sub>4</sub>:Tm > CaSO<sub>4</sub>:Dy(Harshaw) > <sup>7</sup>LiF(Harshaw)의 順으로 된다. 위의 TLD들은 大體로  $12 \text{mR/min}$ 에서  $2 \text{mR/min}$ 까지는 直線性이 있고  $2 \text{mR/min}$ 以上에서는多少 感度가 떨어져서 非直線이 나타난다.

또한 TLD의 諸特性 即 感度, 直線性的 LET依存性照射時의 溫度依存性,  $\gamma$ -線 energy依存性, 增感因子와 關係되는 照射線量效果, glow curve에 대한 LET 및 吸收線量의 影響과 感度의 線量率依存性 等에 대한 研究와 說明은 아직까지 不充分하다고 보나 1960年代에 Cameron의 Competing trap model, Attix等의 track model 및 Katz等의 Biological model로 이들 諸特性을 部分的이나마 解明해 왔다. 1970年代에는 TLD感度에 關한 諸現象을單一model로 하여 說明하였으며 이 model에 依하면 不純物(活性體)이나 格子欠陷等으로 因하여 生기는 몇個의 捕獲準位(Capture level)의 trap과 放射線照射로 生긴 擔體사이의 捕獲過程을 不可逆逐次反應이라고 假定하여 其 反應溫度는 照射時의 溫度와 放射線에 依해 生기는 thermal spike等에 따라서 生기는 發熱溫度의 合이 되고 各準位에 Capture되는 擔體數는 放射線照射에 依해 生긴 擔體數로 制約된다고 說明하고 있다. 이 新로운 model로서 同一한 母體結晶體를 가진 TLD發光體라도 添加하는 不純物의 種類와 其量 또는 處理條件에 따라서 其感度는 變하고

非直線性的特性도 變하며 其他 特性도 定性的으로 解明하게 된 것은 大端한 發展이라고 하겠다. 以外에 理論的研究에서  $n-\gamma$ 線 mixed radiation에 대한 LiF-TLD의 感度는 高溫에서의 glow peak는 高線量이나 高 LET의 粒子線에 依해 生긴 두 擔體와 關聯되는 捕獲中心에 依함이라고 假定하는 model로 說明하기始作했고 한편 Pender<sup>12)</sup>等은 活性化 energy가 Quasi-continuous distribution의 모양을 取하고 TL은 1次反應이라고 假定하여 TLD의 glow curve 热消光(Thermal quenching)等에 대하여 數值的解折를 하였다. 또한 以外에 電算機를 利用하여 glow-curve를 解折하는 方法도 研究가 進行되고 있다.

### 5-(4) TLD의 應用

#### ① 醫學分野

X線照射의 被曝線量, RI診斷 및 電子加速器利用 암治療等에서 低線量 高感度用 TLD가 要望됨은勿論이고 LiF-TLD와 Mg<sub>2</sub>SiO<sub>4</sub>(Tb)의 組合으로 두 素子法을 使用하여 低energy, 低線量測定을 하며 齒科用 X線診斷촬영時도 使用하고 있으며 이때의 問題인 散亂線도 各位置에서 測定하여 患者는勿論 醫師, 技士들의 방사선장해 방어에 萬全을 期할수 있게 되었다. 最近高 energy X線, 高 energy電子線(2MeV~35MeV)에 대한 TLD의 相對感度와 <sup>60</sup>Co- $\gamma$ 線에 대한 相對感度를 LiF-200-MgS, LiF-200-Ti80T에 대한 其 energy 依存性에 대하여 報告되어 있으며 研究者에 따라서 其 値들이 많은 差異를 나타내고 있는 實情이며 今後에도 많은 實驗과 理論的 究明이 要한다.

#### ② 環境monitor

TLD의 personnel monitor用은 이미 잘 알려져 있는 實情이며 환경 monitor用 TLD도 많이 開發되었다. 이 分野에는 LiF-TLD가 使用되어 왔고 以外에 CaF<sub>2</sub>(Dy), CaF<sub>2</sub>(Mn) 및 CaSO<sub>4</sub>(Dy) 等도 使用하고 있다. 特히 fading문제 感度面에서 환경 monitor用 TLD는 CaSO<sub>4</sub>(Dy)가 適合하다. 이 환경 monitor用은一般用 TLD와 달리 長時間동안 低線量에 被曝되고 있음을 고려하여 감도, fading은勿論, 發光體自體의自己被曝, 發光體의 包裝材에 依한 피폭, 大氣환경의 氣溫變動에 因한 fading의 變化, 感度의 方向依存性等 各種 條件을 고려하여 TLD를 선택하여야 하겠다. 10mR/y 程度의 低線量도 測定하였다고 Toombs<sup>13)</sup>는 報告하였다. CaF<sub>2</sub>:Dy는 CaF<sub>2</sub>:Mn보다 10倍나 其 感度가 높다고 한다. 이 測定은 大氣中 뿐만 아니라 水中 核施設物等에 대하여 한 것이다.

### ③ 核臨界用 TLD(Criticality TL-Dosimeter)

一般的인 核臨界 事故時에 있어서 速中性子線量測定은 國內에서도 陸一魯<sup>14)</sup>等에 依하여 發表되었고 Hawkins<sup>15)</sup>等에 依하여 各種 核臨界施設에 있어서의 中性子-Spectrum을 測定함에 開發한 特殊 film badge (Cyclocac badge-Dupont 545 film packet)와 Vacuum tube形 CaF<sub>2</sub>-dosimeter를 同時に 使用하여 核臨界나 事故時에 放出되는 7對 neutron의 線量比를 測定하였다. 被曝物은 人體와 類似한 plastic phantom을 利用了고 結果의 으로 TLD指示 값보다 film badge는 ±35% 即 約 1/3밖에 안됨이 實證되었다.

이 核事故時는 主로 7-neutron인 故로 個人防禦用 TLD도 考慮해야 하겠다. 即 7-線用 TLD는 CaSO<sub>4</sub>:Dy, LiF:Mg, natural LiF:Mg, Al<sub>2</sub>O<sub>3</sub>等에서 同一 photon energy (KeV)에서 CaF<sub>2</sub>는 LiF보다 其 感度가 훨씬 높다는 點을 留意해야 하고 反對로 LiF:Mg를 badge type로 할 때 有利한 點은 여기에 20mg/cm<sup>2</sup>의 Polyethylene을 被覆하면 skin dose測定이 되고, 320mg/cm<sup>2</sup>의 plastic를 피복하면 body dose가 되고 1mm의 Cu, 또는 1mm의 Pb를 피복하면 X線 線量測定이 되며 勿論 LiF는 中性子測定이 된다. LiF-TLD로서 7線測定時 其 感度 또는 感應(Response)는 phantom內(類似人體)에서 其 媒質(phantom)에 따라서 다르다.

即 TLD감도는 周圍媒質과 關係되고 TLD와 媒質接觸部分에서 所謂 Cavity(空洞)가 생기고 吸收線量分布의 不連續性이 나타난다. 媒質內의 energy分布의不平衡은一般的으로 Continuous Slowing down Approximation model로 또는 Spencer-Attix의 Two Group model로나, 最近에는 Burlin의 Quasi Diffusion Theory에 依하여 解析되고 陸一河<sup>16)</sup>等에 依하여 LiF-TLD의 感應은 入射 energy는 勿論 cavity(空洞)의 크기에 依存함을 理論的 및 實驗的으로 眼쳤으며 personnel monitor로 使用하기 쉬운 LiF-polyethylene TLD에서 7-線energy 0.1MeV 近傍에서 其 response가 peak를 이루어 最高值가 되고 0.01MeV에서 0.1MeV까지는 急激한 上昇(0.25~1.7) response를 나타내고 0.1MeV以上 10MeV 까지는 別로 큰 差異가 없음을 實證하였다.

### ④ TLD의 比較

各種 TLD를 同一 放射線을 測定한 計測值의 相互比較가 또한 大端히 重要하다. 이는 各國間에 國際的으로 統一 되어야 함은 再言이 不必要하여 이는 Intercomparison method라고도 한다. 現在 IAEA가 이 業務

를 主導하고 있으며 標準線源에 대한 標準線量 測定值가 發表되어 있다<sup>17)</sup>.

이는 特히 우리들 周邊에서 가장 많이 利用하는 X線線量을 相互比較하고 照射法, 測定方法等을 統一 시키기 为한 評價를 하였다. 따라서 가) 測定結果의 平均值는 ±5%以内일 것, 나) 이 값이 ±5%~±10%일 때는 不一致나 使用不能, 다) ±10%以上은 X線線量計의 較正 또는 代替가 要求된다라고 勸告하고 있다. 이 點으로 볼 때 우리나라의 放射線施設, 核施設物에 대한 被曝線量測定의 國際的 標準化는 時急한 問題의 하나이다.

### ⑤ TLD-Reader

TLD는 保健物理分野 및 環境放射能-monitor分野等에서 先進國은 이미 1960年 부터愛用해 왔으며 이 TLD-Reader도 Computer化 되어 있는 實情이다. 即 在來에는 100個의 TLD를 測定하는데 2時間이 所要되었는데 Computer化로 其 時間이 短縮되고 自動計測과 記錄으로 便利하게 되었다. 現在 1分間に 約 10個의 TLD를 처리하니 10분이면 100個가 처리되는 셈이다. 따라서 放射線從事者數가 많은 機關에서는 個人被曝管理에 絶對로 必要하게 되었다. 勿論 自動化라 함은 線量計測, 再生처리, 再封入, data記錄 까지를 말하며 其 操作에 所要되는 時間은 TLD 1個當 約 22秒가 걸리다고 한다. 따라서 測定의 個人誤差도 없어진다. TLD-Reader의 性能은 제작사(Harshaw-2271, Studsvik-

表 13. TLD-Reader의 性能比較

제작사	Harshaw 2271	Studsvik 1314A	Teledyne 9106
가열기구	전열가열-N가스	一定온도의 가열판	
교정용 광원	있음 手動	무(없음)	있음 자동
TLD	LiF	LiF+Li <sub>2</sub> B <sub>4</sub> O <sub>7</sub> :Mn	CaSO <sub>4</sub> :Dy
계량계 당소자 수	2	4	4+4
표준계측소자 수	2	3	4
계측시간	10sec	12sec	10sec
재생처지 (개인피폭용)	80°C 22hr	300°C, 20min	270°C, 60min.
7-선에대한 현성(δ: %)	LiF 20mR 14.5 100mR 10.6 1000mR 13.7	LiF,Li <sub>2</sub> B <sub>4</sub> O <sub>7</sub> :Mn 8.3 13.7 6.8 8.4 5.1 5.9	CaSO <sub>4</sub> :Dy 4.7 5.6 4.6

1314A, Teledyne-9100)에 따라서多少間의 差異는 있다. 끝으로 TLD-Reader에 對한 製作社別로 몇 가지例를 表 12로 表示하였다.

## 6. 結論

以上과 같이 TLD의 發展過程과 其 發光現象에 대한 機構를 理論的으로 및 實驗的으로 解釋해 보았고 또한 TLD의 再生法, 感度, background(pre-dose), energy-依存性, 線量依存性, 退化現象(Fading phenomena), 方向依存性等 및 各種 TLD들에 대한 相互特性比較도 하였으며 特히 在來式 film badge, pocket chamber dosimeter等과도 其 特性을 比較하여 personnel monitor用으로 어느 것이 좋은가의 適否를 讀者 여러분에게 其 判断을 맡기기로 하겠다.

大體로 TLD使用은 X線被曝 線量測定을 為始하여 모든 放射線發生의 施設物에서 放出되는 各種放射線測定을 正確하고 신속하게 하여 終局에는 放射線從事者の 피폭선량은 물론 住民피폭선량을 許容선량以下로 恒常維持하고자 함에 가장 큰 目的이 있다. 이는 結局 放射線被曝個人管理, 環境放射線管理 및 國民全體의 遺傳線量管理가 되기때문에 우리들 個個人과 우리들 家族 우리들 後系 나아가서는 全世界人間과 其後孫을 為하여 各國은 모두 이 문제에 心血을 기울이고 있는 實情이며 國제기구로서 IAEA를 為主로 하여 IRPA(International Radiation Protection Association)가 있고 美國自體로는 Health Physics Society가 있으며 이 學會會員도 自動으로 IRPA의 會員이 된다. 各國의 방사선 防禦學會가 또한 IRPA에 加盟되어 있으며 KARP(Korean Association for Radiation Protection)도 IRPA에 韓國을 代表한 加盟會員國이 되어 있음을 볼때 바야흐로 世界全人類는 合心合力하여 共同의 利器이며 同時에 共同의 障害物인 放射線 安全管理에 힘쓰고 있음을 如實히 實證하고 있다. 核發電施設物을 先頭로 하여 모든 방사선 발생 시설물에서 우리는 事故를 未然에 防止하여야 하며 지난날(3月 28日) 發生한 美國의 TMI事故는 地球上에서 再發되지 않도록 함께 우리들의 所望이다. 最近 ICRP Publication 26에 依하면 radiation risk와 其 risk factor가 문제시되며 가령 neutron risk factor=16~20cases/y/ $10^6$  man-rad, Kerma dose로서 Kr=349.6rad, Kn=119.7 rad일때 其 factor는 각각 1,277cases/ $10^6$ /man-y와 42.8cases/ $10^6$ /man-y가 되며 中性子에 대한 Leukemia risk factor는 600cases/ $10^6$ man-rad라고 할때 其 線量測定의 精確度가 문제시 됨은 當然하다.

또한 effective dose equivalent(實効線量當量), depth dose equivalent index(深部線量當指數)等을 決定할때도 其 測定器機와 方法, 線量率換算因子의 決定, 中性子 및  $\gamma$ 線의 感應函數決定等 今後에도 많은 課題가 남아 있다고 보며 核發電所에서의 氣體 및 液體의 汚染度測定과 其 monitor문제에서 부터 低線量의 繼續的 被曝에 대한 正確한 測定, 內部被曝으로 因한 體內汚染 測定 및 monitor에 이르기 까지 모두 線量測定문제가 가장 重要하다고 보며 이 문제 解決로서 放射線安全管理 문제가 解決되리라고 믿는다.

우리나라에서도 이제 本格的으로 放射線防禦에 대한 開發研究와 事故防止를 為한 對策을 徹底히 하여 後患이 없도록 다같이 努力해야 하겠다.

## References

1. J.T. Randall & M.H.F. Wilkins : *Phosphorescence and electron traps*. Proc. Roy. Soc. A. 184, 347(1945)
2. N.F. Mott & R.W. Gurney : *Electronic processes in Ionic crystals*. Oxford Univ. Press.(1940)
3. J.H. Schulman et al. : Proc. of International Conference on Lum. Dosimetry. June 21-23(1965)
4. T. Nakajima et al. : Characteristics of TL-Dosimeter on personnel monitor. Jour. of the Atomic Energy Society of Japan, Vol. 14, No. 5 (1972)
5. L. Benkő, Gy. Uchrin & T. Biró : Proceedings of 4th International Congress on Radiation Protection, Paris, Vol. 4(1977)
6. N. Vana, H. Aigner, W. Erath & G. Buchan : Proc. of 4th Int. Congress on Radiation Protection, Paris, Vol. 4(1977)
7. T. Nakajima & y. Murayama : Development of a new highly sensitive LiF-TLD and its applications: J. of RADIOISOTOPES, Vol. 28, No. 4 (1979)
8. M. Takenaga et al. : A new TLD phosphor based on  $Li_2B_4O_7$ . Proc. of 5th Intern. Conf. on Lumin. Dosimetry, 148, (1977)
9. D.F. Regulla : Interpretation and discrimination of the predose phenomenon in phosphate glass dosimetry. Proc. of 5th Intern. Conf. on Lumin. Dosimetry, 103(1977)
10. A.R. Lokshmanan et al. : Ultraviolet-induced

- TL and phosphor in  $Mg_2SiO_4$  ( $Tb$ ). *Phys. Med. Biol.*, 23, 952(1978)
11. S.K. Mehta and S. Sengupta : Photostimulated TL of  $Al_2O_3(Si,Ti)$  & its application to UV, Rad. dosimetry, *ibid*, 23, 471(1978)
12. L.F. Pender et al. : Numerical analysis of TL Dosimeter for a Quasi Continuous activation energy distribution, *Jour. of phys. C(solid state phys.) Vol. 10*, 1561. (1977)
13. G.L. Toombs : Comparative response of TL-Dosimeter in Environmental monitoring situation, Proc. of 4th Inter. congress on Radiation Protection, Paris, Vol. 2(1977)
14. C.C. Yook & S.G. Rho : Fast neutron dosimetry in nuclear criticality accidents. Proc. of 4th Inter. Congress on Radiation Protection, Paris, Vol. I(1977)
15. D.E. Hankins : A study of selected criticality dosimetry method. Los Alamos Scientific Lab. of the Univ. of California, LA-3910, Health and Safety, June 14(1968)
16. C.C. Yook & C.W. Ha : Response of LiF-TLD to  $\gamma$ -rays as a cavity detector, *Jour. of the Korean Association for Radiation Protection (KARP) Vol. 1, No. 1*(1976)
17. K.J. Puite & D.L.J.M. Crebolder : Experience with X-ray dose intercomparison Projects, IAEA Tech. Reports Series No. 182, 71(1978)